Eleonora Palma Dpt di Fisiologia Umana e Farmacologia Università di Roma La Sapienza



Le canalopatie nelle epilessie



Genova febbraio 2015

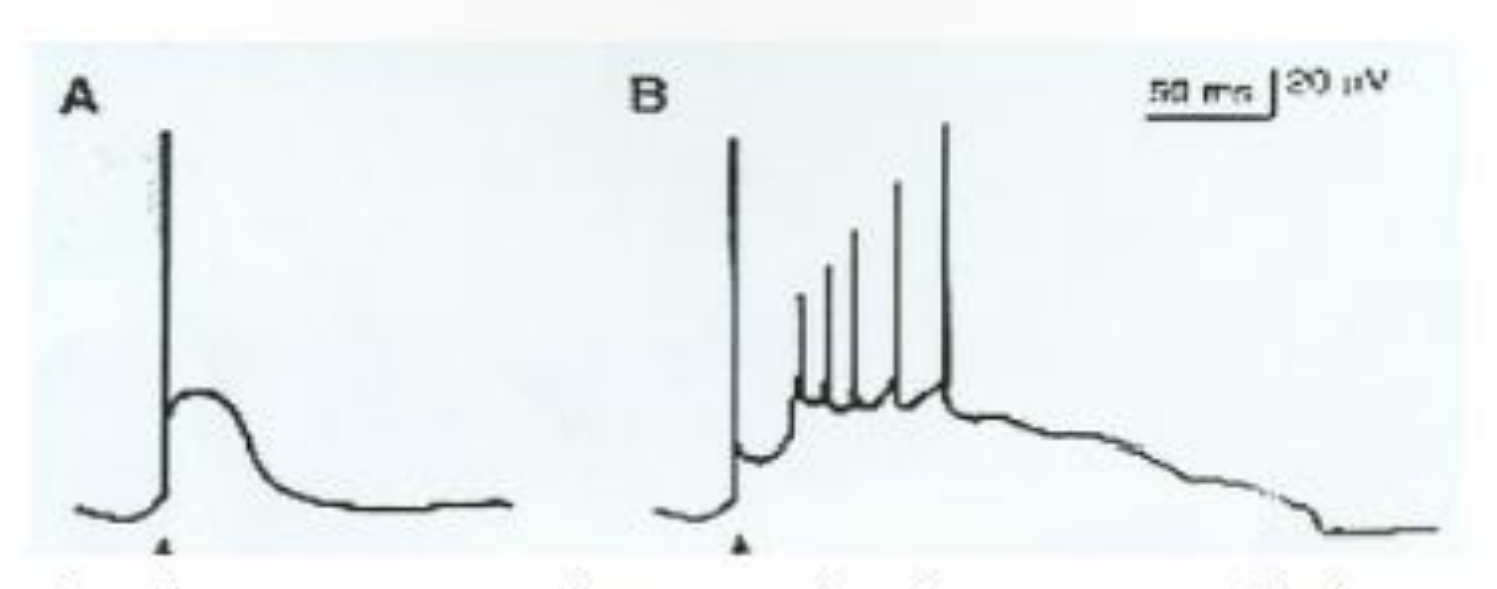


Bodo Wentz (1983): tonic clonic seizures



L'epilessia è un disturbo neurologico che si manifesta con crisi ricorrenti sostenute dalla scarica parossistica di un gruppo di neuroni della corteccia cerebrale.

la scarica di un neurone



scarica di un neurone normale

scarica di un neurone epilettico



Classificazione

Si distinguono in

- IDIOPATICHE (indipendenti da lesioni cerebrali)
- SINTOMATICHE (derivanti da lesioni cerebrali o malformazioni del cervello)
- CRIPTOGENETICHE (la causa scatenante non è conosciuta)

Nella prima la predisposizione alla crisi è presumibilmente costituzionale, nella seconda si collega a lesioni di varia origine (traumi cranici, encefaliti pregresse, tumori) dell'encefalo.

Dal punto di vista clinico si distinguono:

- un'epilessia generalizzata, in cui la sofferenza interessa tutte le zone corticali,
- una parziale, in cui la sofferenza è localizzata in un numero ristretto di aree.

Tra le epilessie parziali merita un posto a parte l'epilessia psicomotrice, legata a una sofferenza del lobo temporale. L'epilessia generalizzata si distingue in grande male e piccolo male.





a) Generalised seizure:
 both halves of the brain are
 affected simultaneously



b) Focal seizure: the seizure activity begins in one half of the brain

Epileptic seizures can be divided into the following types:

Generalised seizures

e.g. grand mal, absence

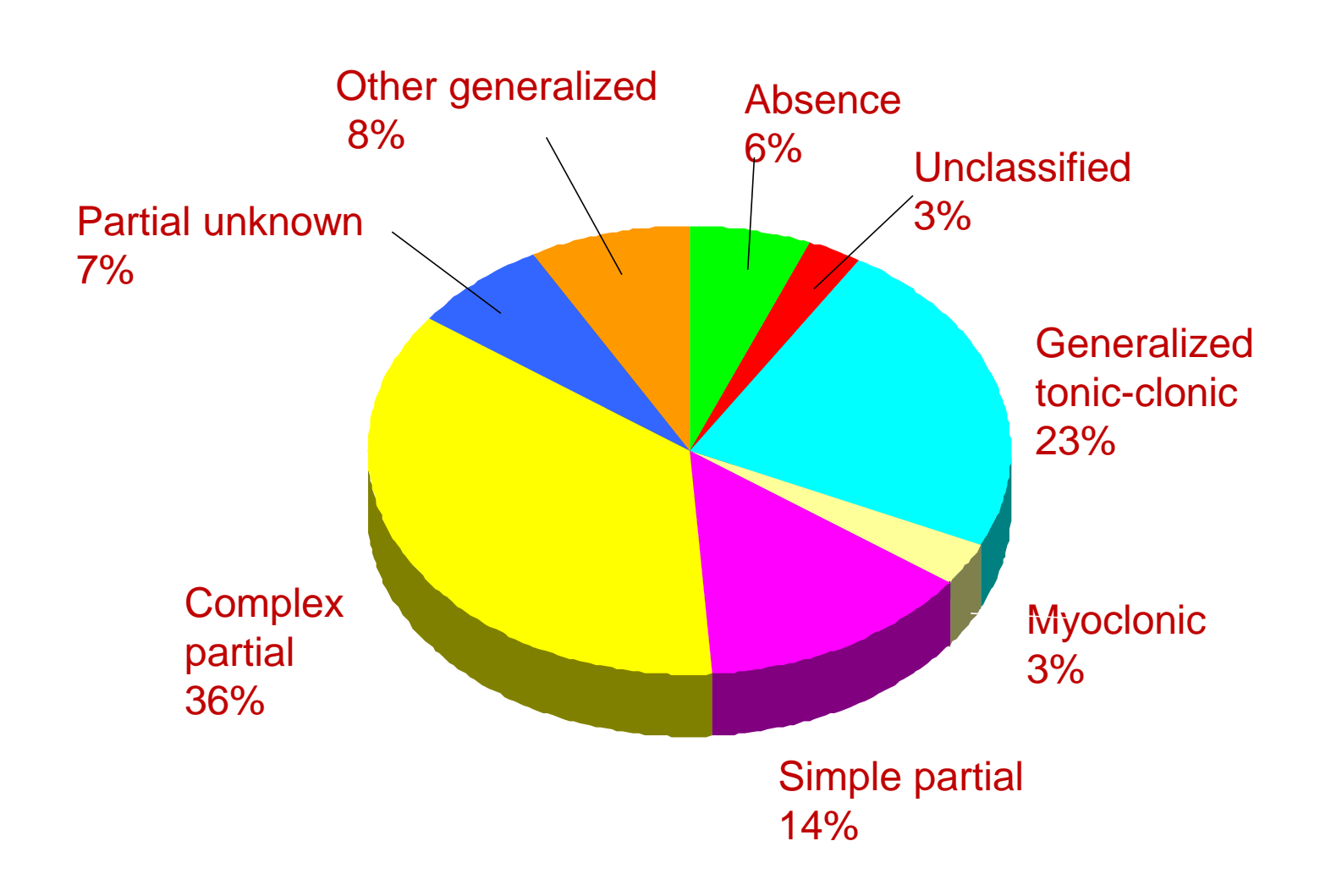
Focal seizures

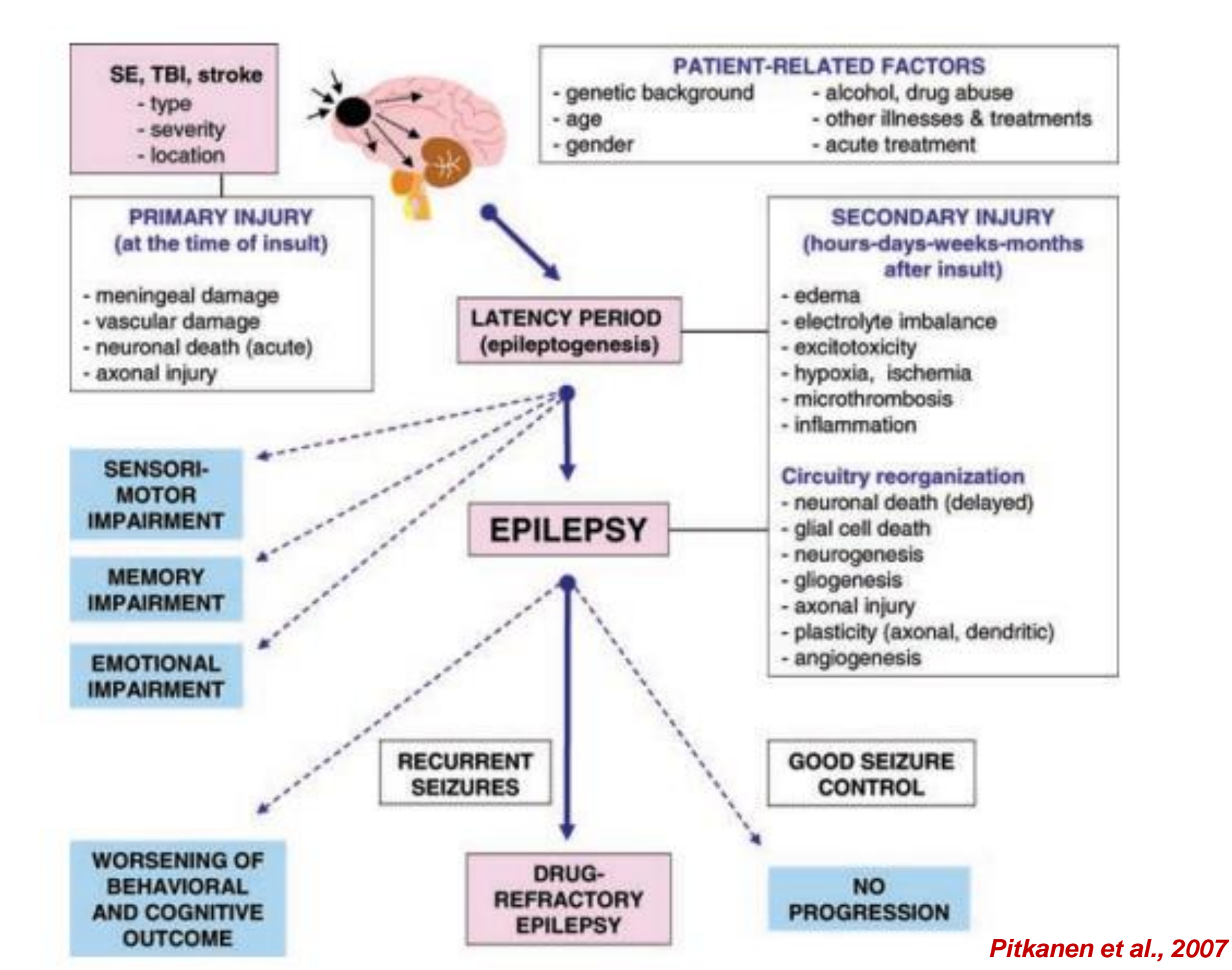
e.g. partial complex seizures, one-sided myoclonic seizures

Non-specific seizures

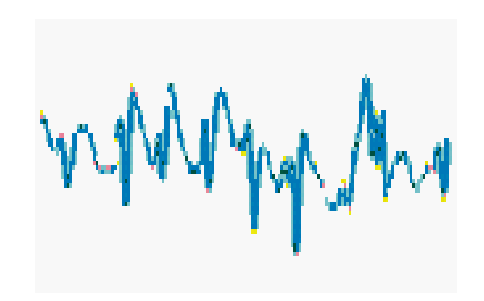
e.g. seizures in new-borns

Incidence of Epilepsy Seizure Types









autosomal dominant nocturnal frontal lobe epilepsy

subunità mutanti nicotiniche neuronali α4 e β2

generalized epilepsy with febrile seizures plus

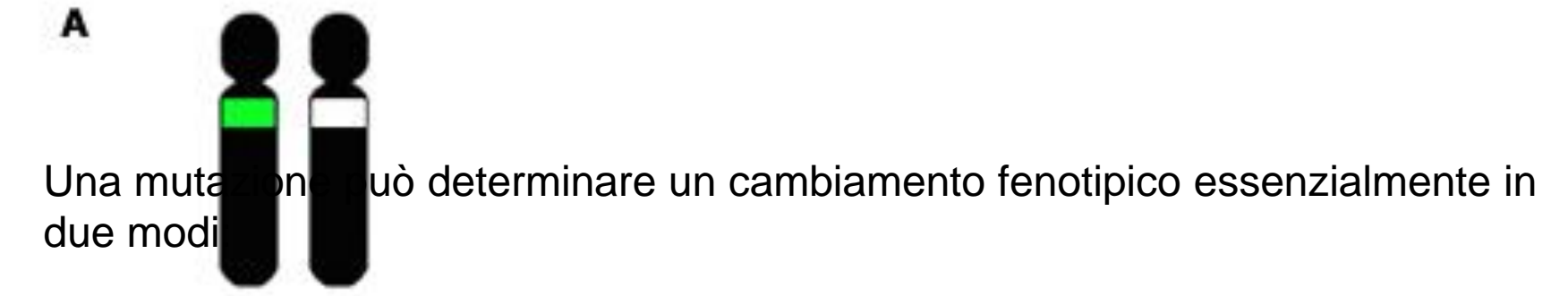
subunità $\alpha 1$ e $\beta 1$ del canale voltaggio-dipendente del sodio e la subunità $\gamma 2$ del GABA,

childhood absence epilepsy

mutazioni sulla $\gamma 2$ del GABA

juvenile myoclonic epilepsy

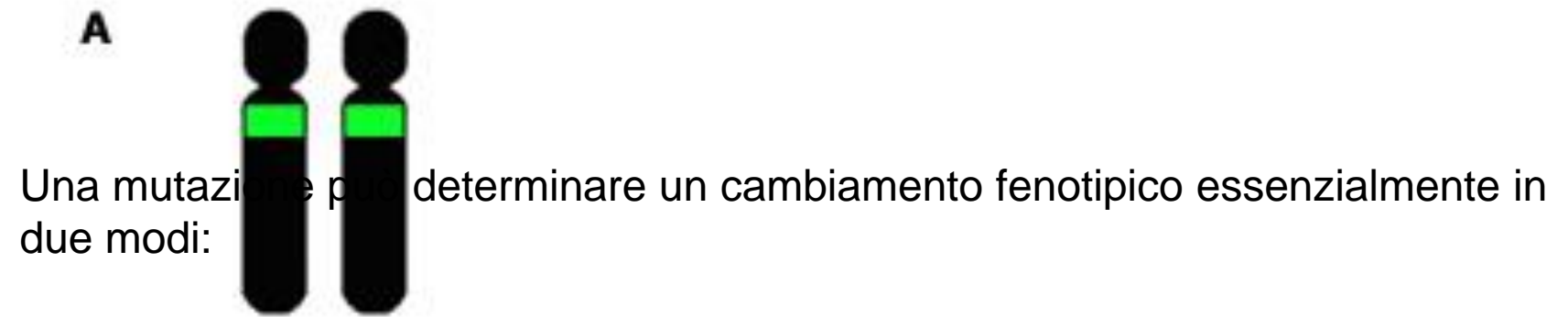
mutazioni sulla $\alpha 1$ del GABA_A



Il prodotto che ne deriva ha una funzione ridotta o assente MUTAZIONI "LOSS OF FUNCTIONE"

Il prodotte che e deriva ha acquisito una nuova funzione anomala MUTAZICE "ELIN OF FUNCTION"

Loss of function. A. Mutazione in un gene recessivo. Il prodotto mutato non comporta alcuna perdita di funzione perché l'allele sano compensa per la perdita. B. La mutazione in entrambe gli alleli comporta una situazione di loss of function.



Il prodotto che ne deriva ha una funzione ridotta o assente MUTAZIONI "LOSS OF FUNCTION"

Il prodotto per leriva ha acquisito una nuova funzione anomala MUTAZION GA OF FUNCTION"

Situazione normale e gain of function. A. I due alleli presenti sui due geni sono sani. B. Mutazione in uno dei due alleli dominanti. La mutazione comporta una situazione di gain of function.

Epilepsy and migraine

	Na+	K+	Ca ²⁺	GABA	Nicotinic
Epilepsy	SCN1B	KCNQ2 KCNQ3 KCNMA1	CACNA1H		CHNRA4
Migraine	SCN1A		CACNA1A		

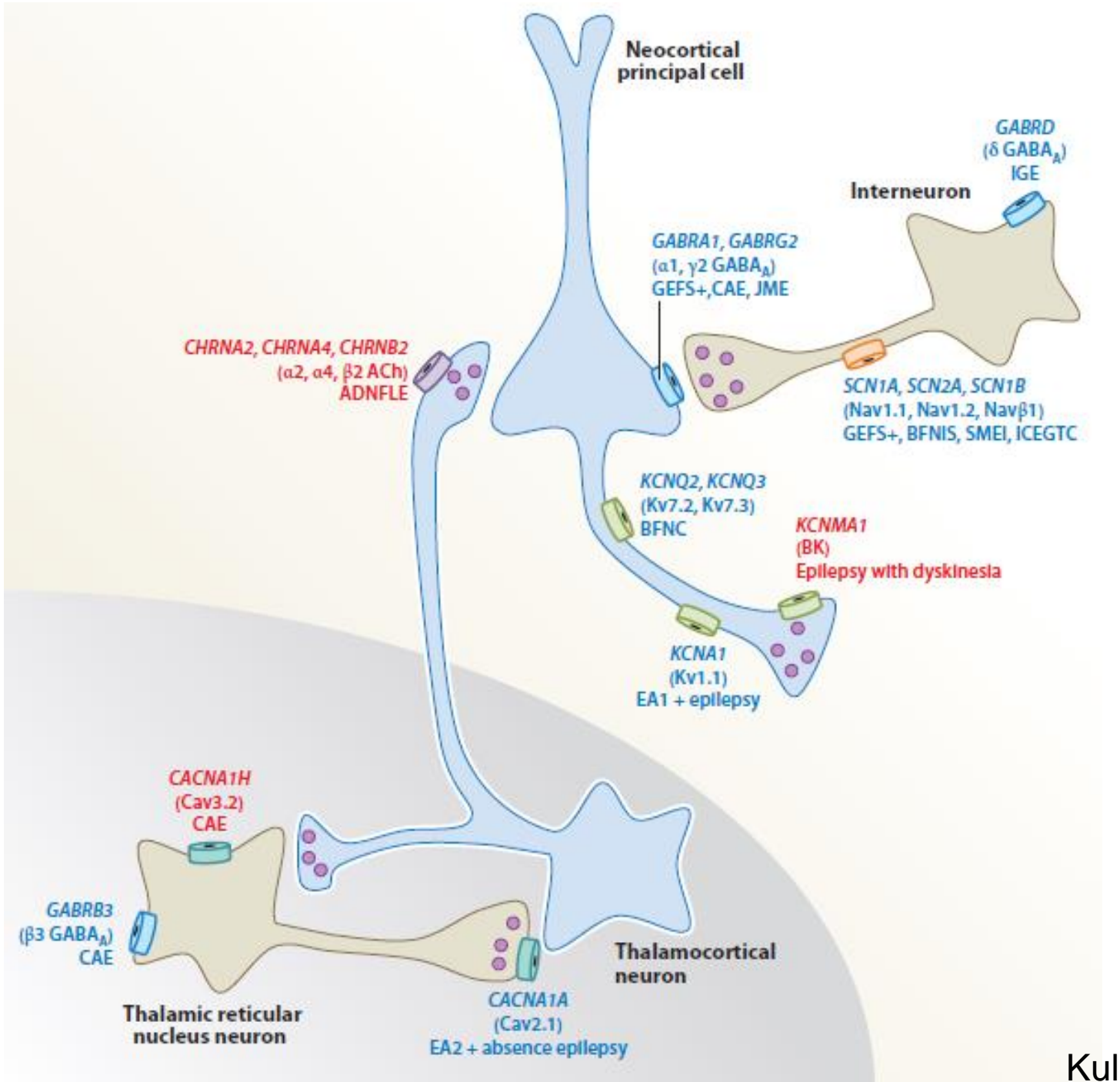
Neuromuscular disorders

	Na ⁺	K+	Ca ²⁺	CI-	Nicotinic
Myasthenia Fetal akines					CHRNA1 CHRNB1 CHRNG CHRND CHRNE
Myotonia	SCN4A			CLCN1	
Periodic paralysis	SCN4A	KCNJ2	CACNA1S		
Pain Erythema	SCN9A				

Cerebellar ataxia and excessive startle

	K ⁺	Ca ²⁺	Glycine
Ataxia	KCNA1 KCNC3	CACNA1A	
Hyperexplexia			GLRA1 GLRB

Kullmann 2010



What do the monogenic epilepsies tell us about epilepsy mechanisms?

Gene	Protein		Phenotype	
SCN1A	Na+ channels	α subunit of Na _V 1.1	GEFS+, SMEI, FHM	
SCN2A		α subunit of Na $_{ m V}$ 1.2	BFIS	
SCN1B		β ₁ subunit	GEFS+	
KCNMA1	K+ channels	BK channel	Epilepsy + paroxysmal dyskinesia	
KCNQ2		M current	BFNC	
KCNQ3				
KCNA1		Kv1.1	EA1 ± epilepsy	
CACNA1A	Ca ²⁺ channels	P/Q-type Ca ²⁺ channel	EA2 ± epilepsy, FHM, SCA6	
CLCN2	Cl ⁻ channel	CIC-2	IGE	
CHRNA4	Nicotinic ACh	α_4 subunit	ADNFLE	
CHRNB2	receptors	β_2 subunit		
GABRG2	GABA _A receptors	γ_2 subunit	GEFS+	
GABRA1		α_1 subunit	JME, absence epilepsy	
LGI1	Not channels	Epitempin	ADPEAF / LTLE	
EFHC1		Myoclonin1	JME	

Epilepsy: the simple view

Prediction

Epilepsy should result from:

Loss of function mutations causing decreased inhibition

GABA_A receptors

K+ channels

Gain of function mutations causing increased excitation

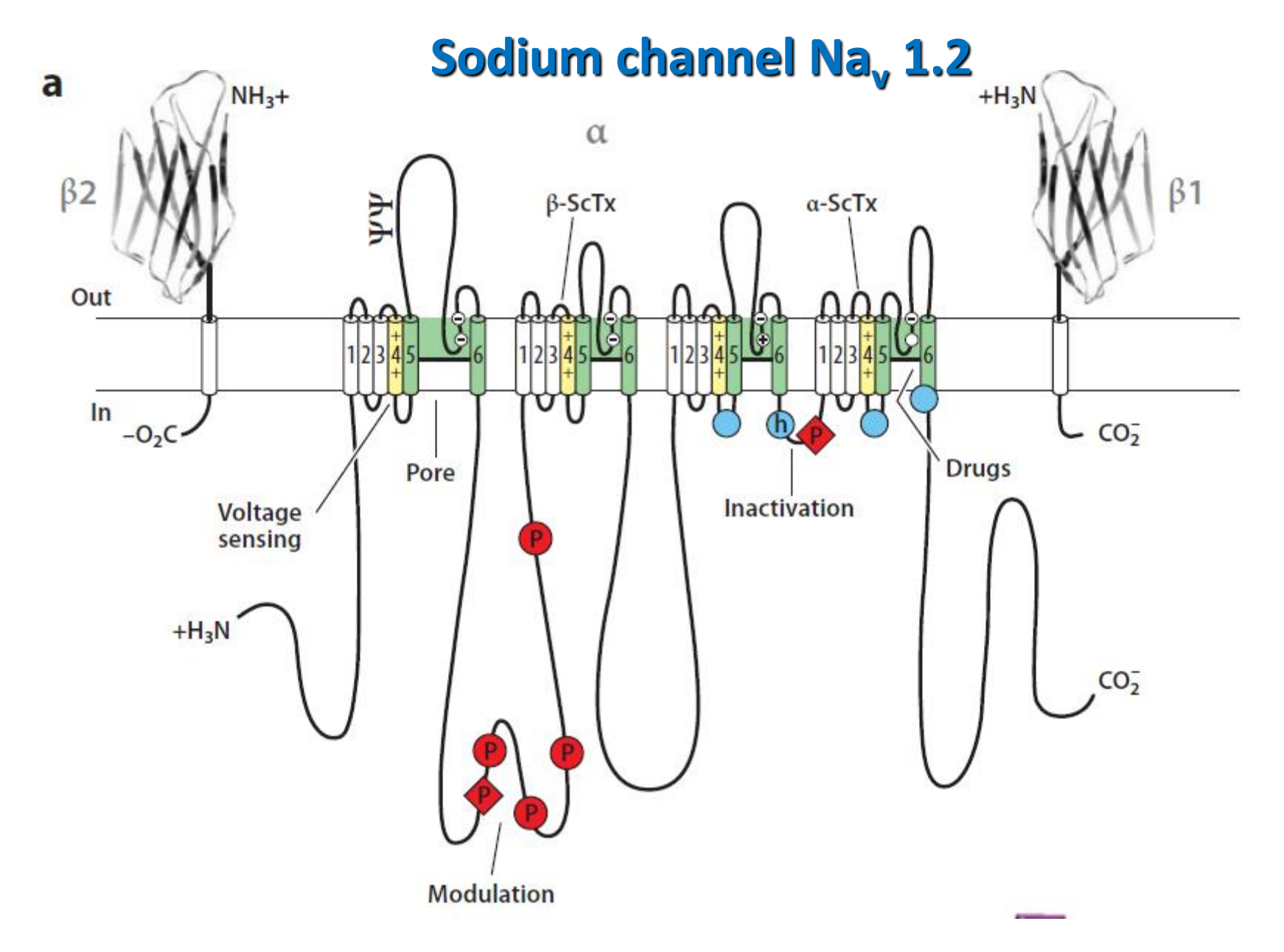
glutamate receptors

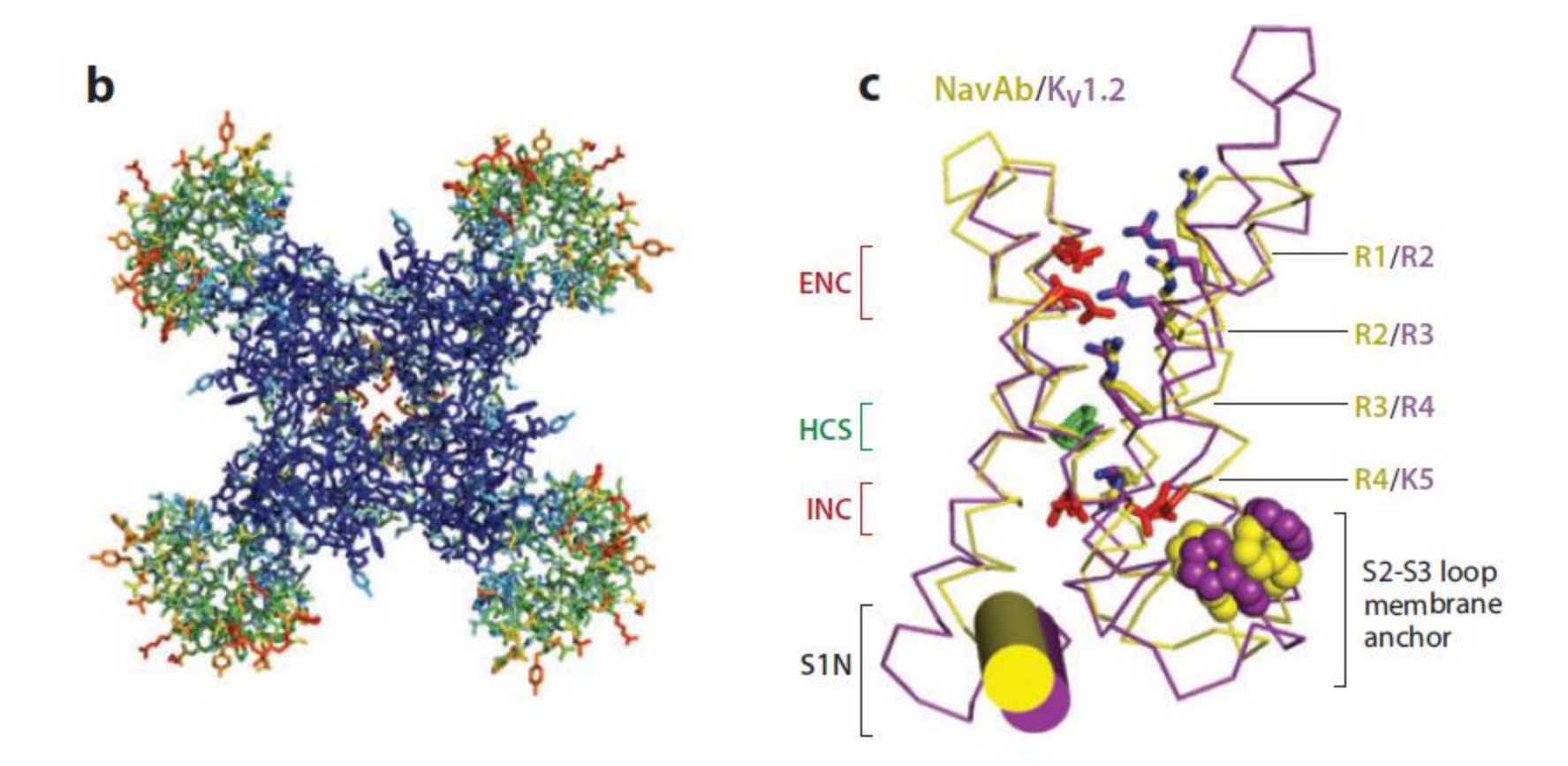
Na+ channels

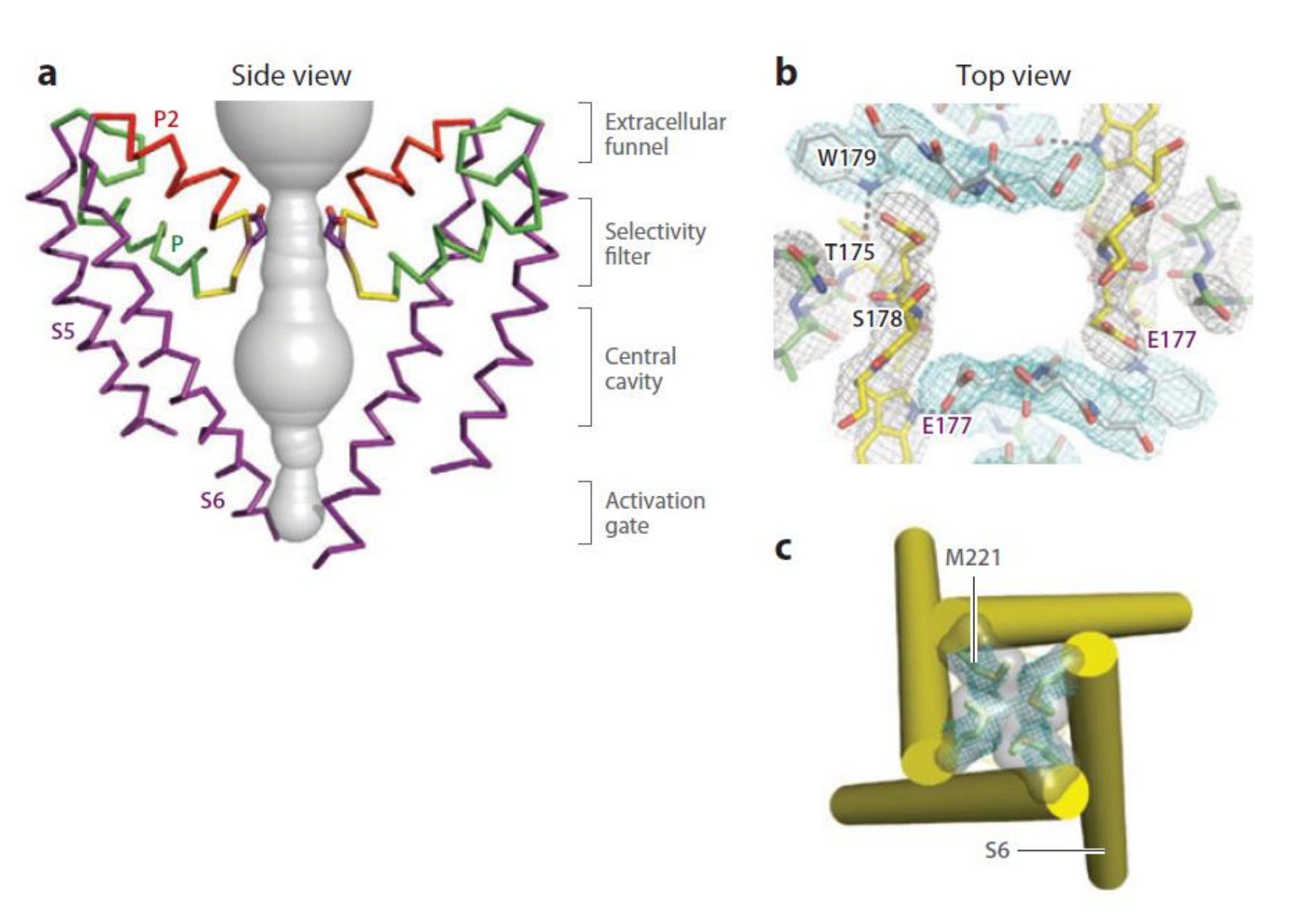
Ca²⁺ channels

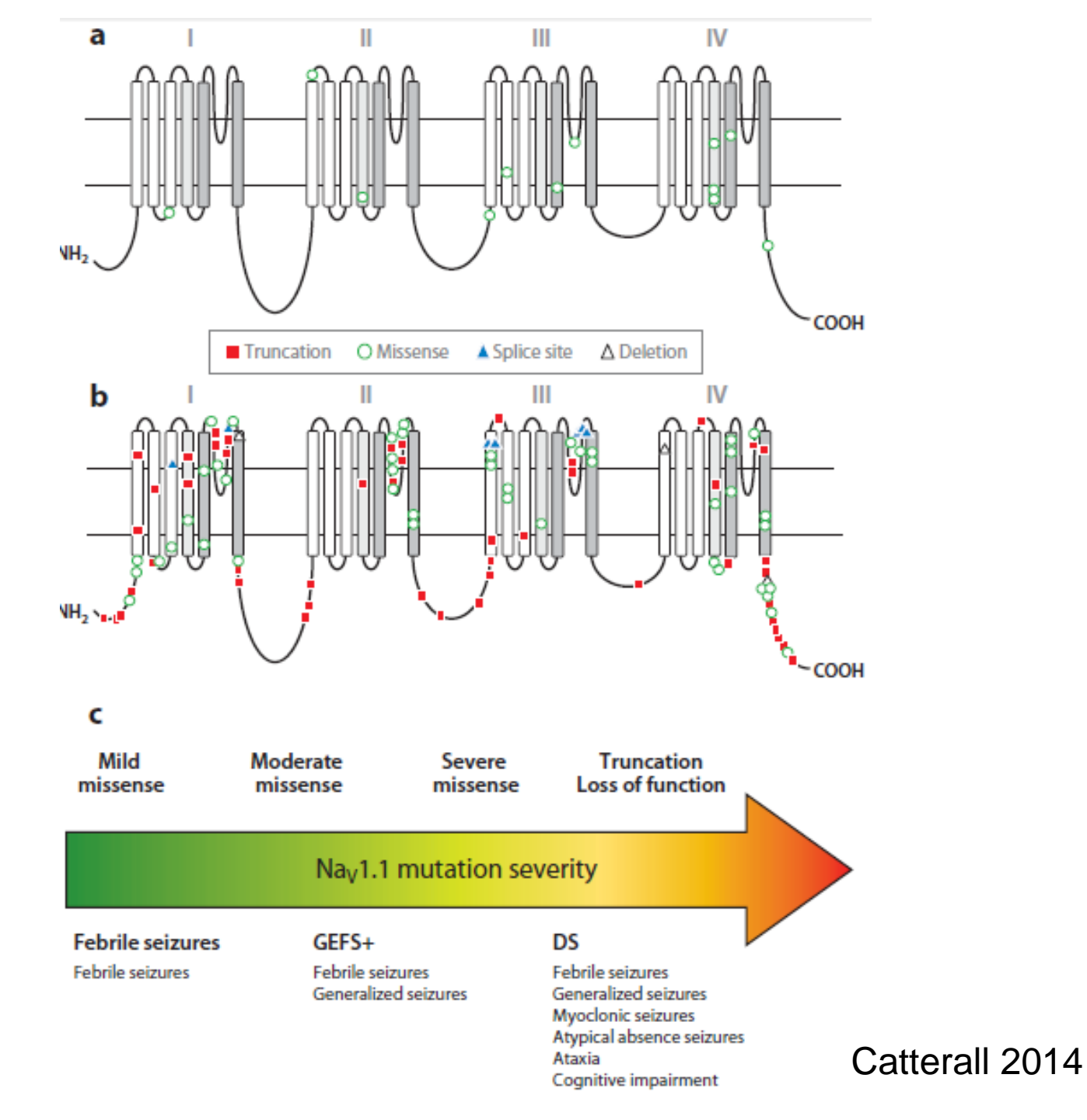
X

?









Epilepsy-Causing Mutations in SCN1A

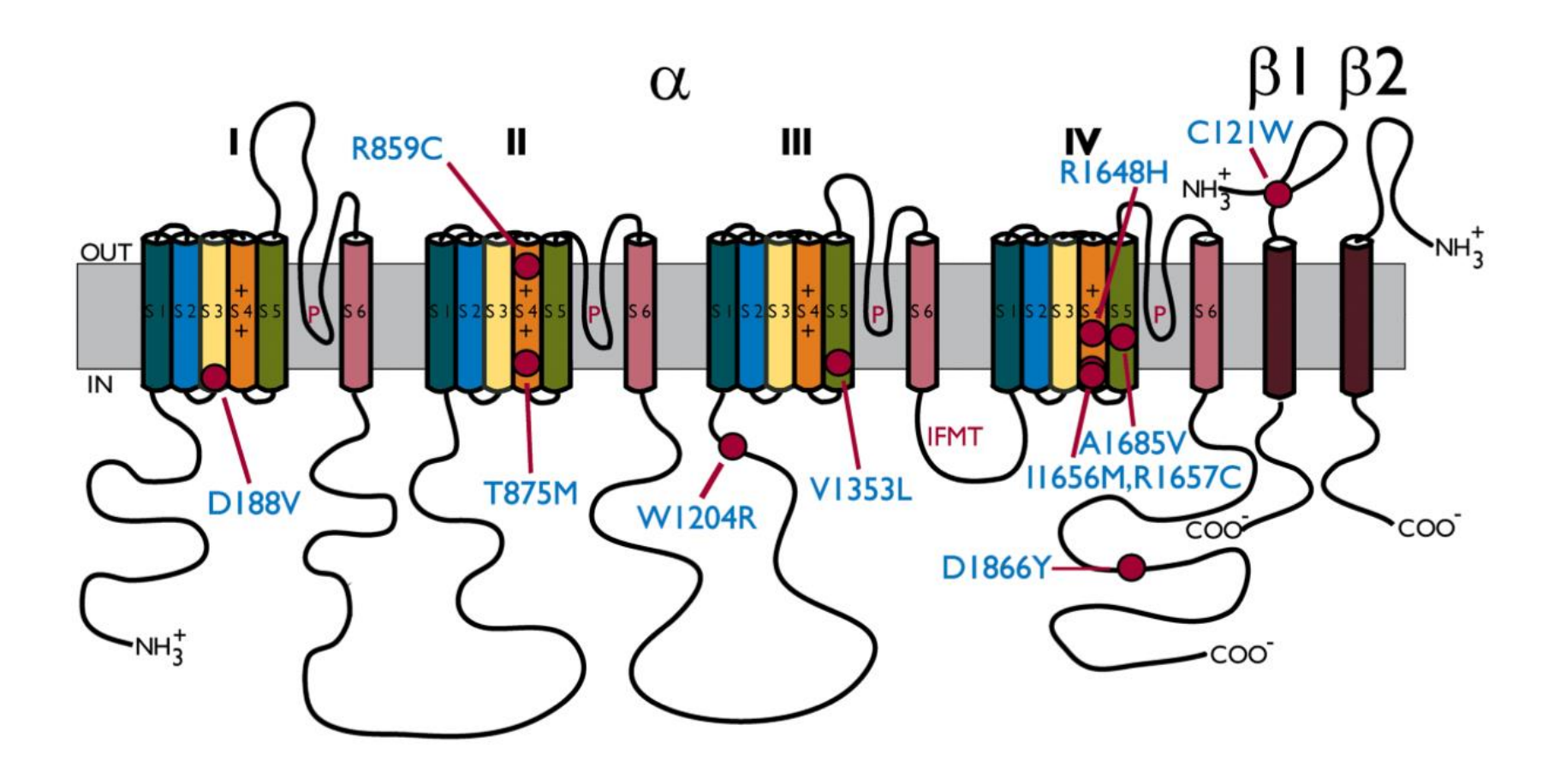


Table 1

Functional Effects of the SCNIA Sodium Channel Mutations that Cause GEFS+

	Increased Sodium Channel Activity			
Mutation	Channel	Cell Type	Effects	
D188V	rNa _v 1.2	HEK	↓ Use-dependence, Faster recovery from slow inactivation.	
T875M	rNa _v 1.1	Xenopus oocytes	† Persistence	
W1204R	rNa _v 1.1	Xenopus oocytes	Negative voltage-dependence	
W1204R	hNa _v l.1	tsA201	† Persistence	
R1648H	rNa _v 1.1	Xenopus oocytes	↓ Use-dependence, Faster recovery	
R1648H	hNa _v 1.1	tsA201	† Persistence	
R1648H	hNa _v l.4	tsA201	Faster recovery	
R1648C	rNa _v 1.1	tsA201	† Persistence	
D1866Y	rNa _v 1.1	Xenopus oocytes	† Persistence	
			Decreased Sodium Channel Activity	
Mutation	Channel	Cell Type	Effects	
R859C	rNa _v 1.1	Xenopus oocytus	Positive Voltage-dependence, Slower recovery from slow inactivation, \downarrow Current	
T875M	rNa _v 1.1	Xenopus oocytes	† Slow inactivation	
T875M	hNa _v 1.4	tsA201	† Fast and slow inactivation	
V1353L	hNa _v 1.1	tsA201	No sodium current	
I1656M	hNa _v l.1	tsA201	Positive voltage-dependence	
R1657C	hNa _v 1.1	tsA201	Positive voltage-dependence, Current	
A1685V	hNa _v l.1	tsA201	No sodium current	

Ligand-gated channelopathies







Pre and postsynaptic modifications

GABA

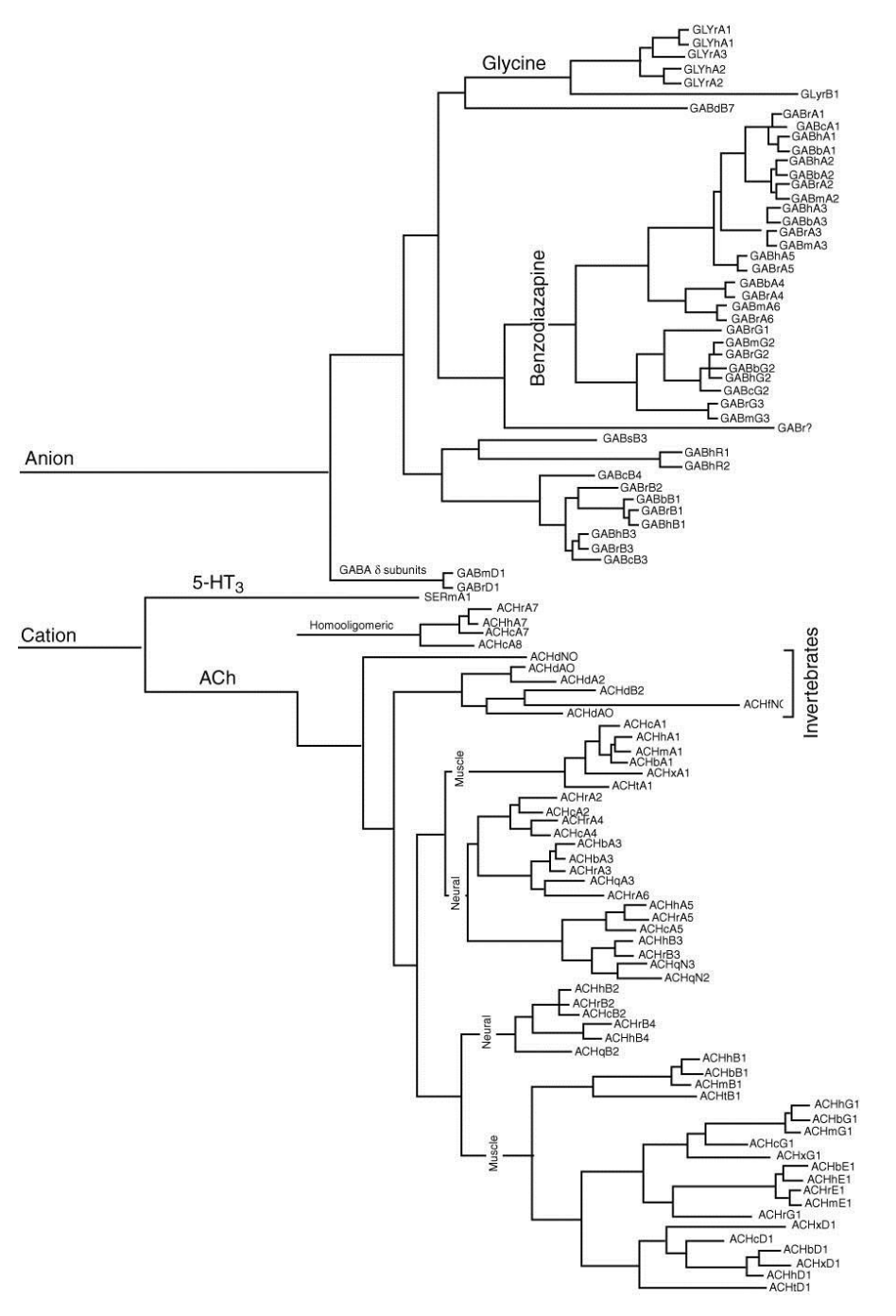
Physiological or structural properties of receptors

Acetylcholine

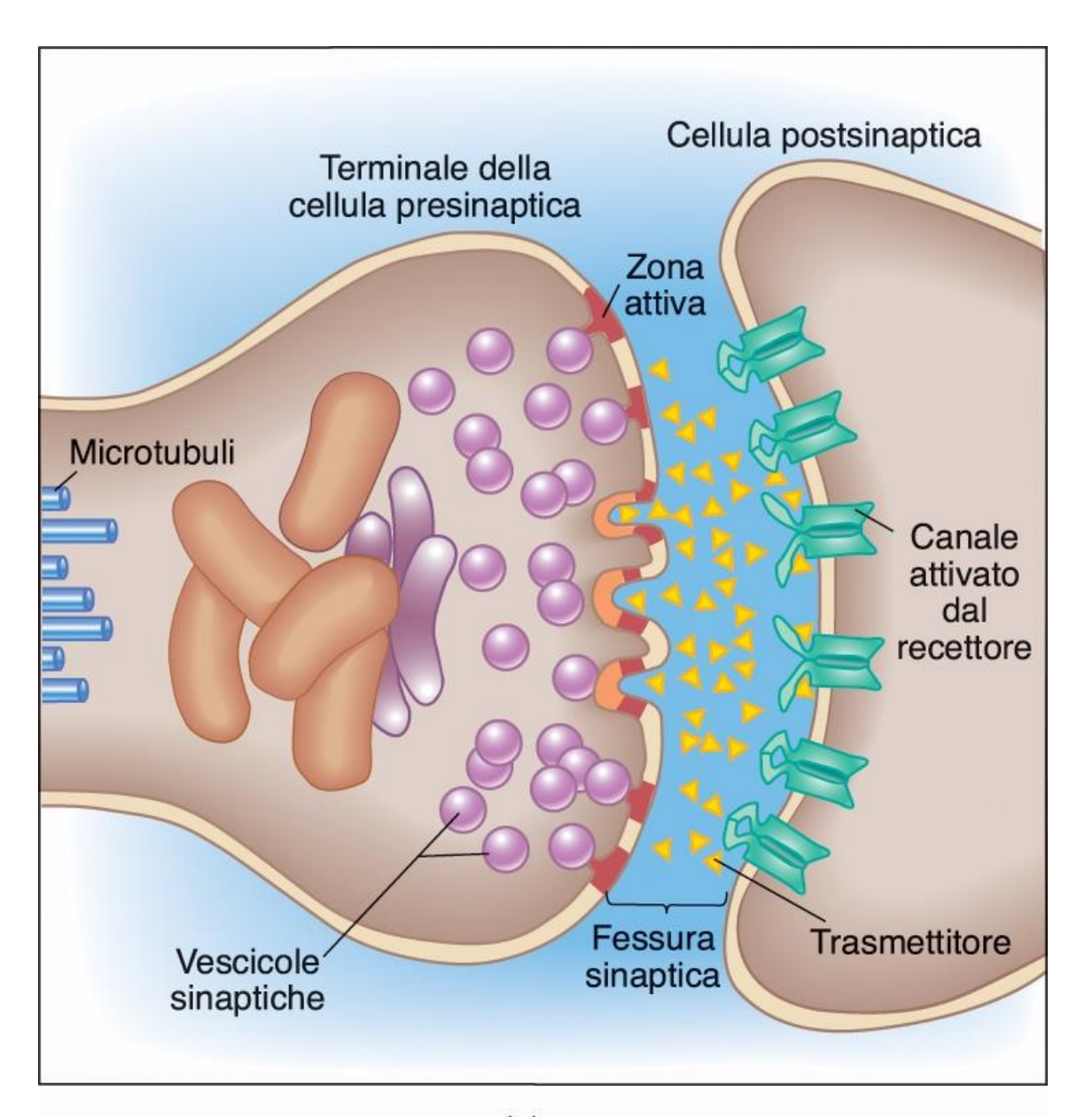
Glutamate

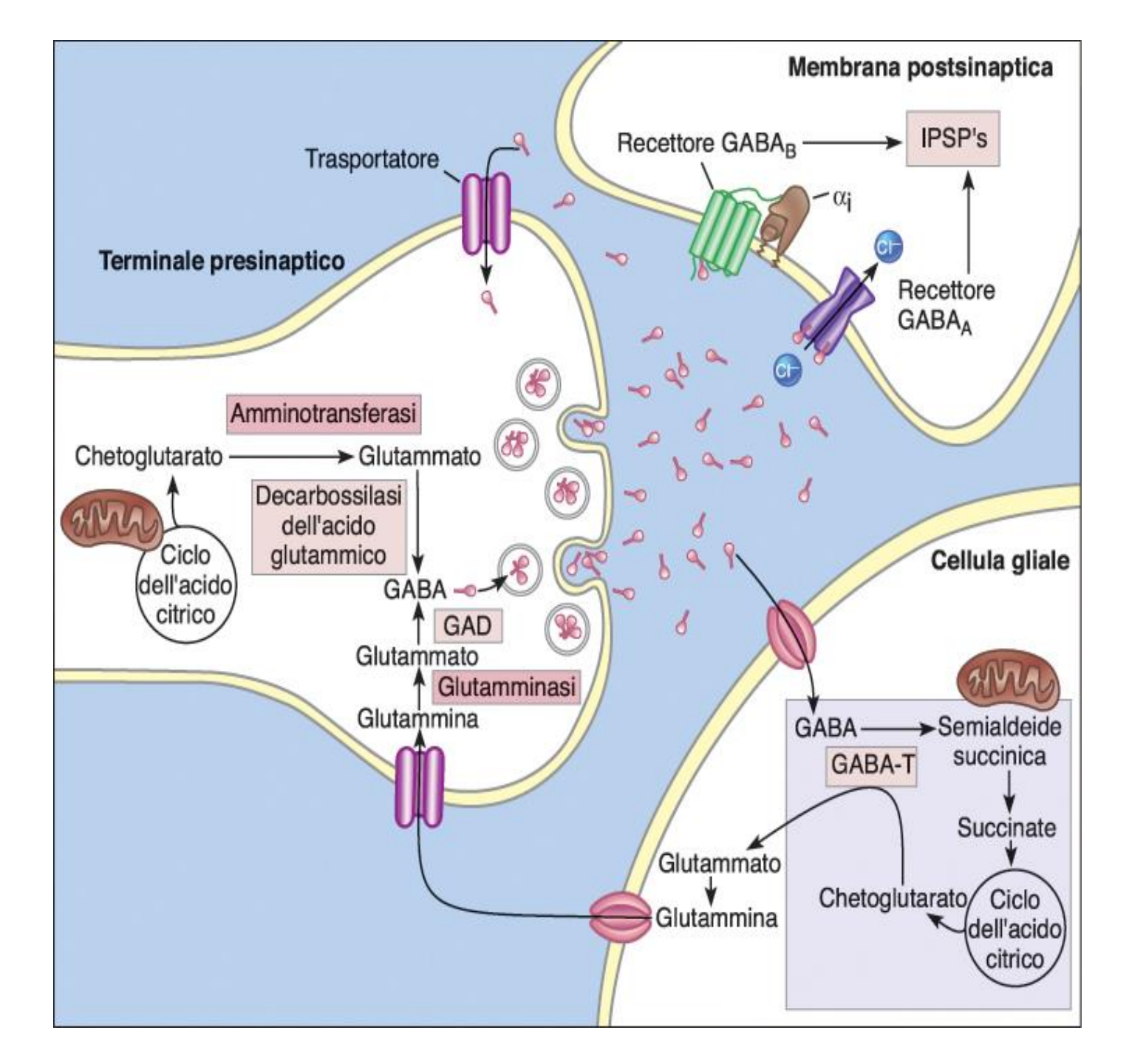
GABA

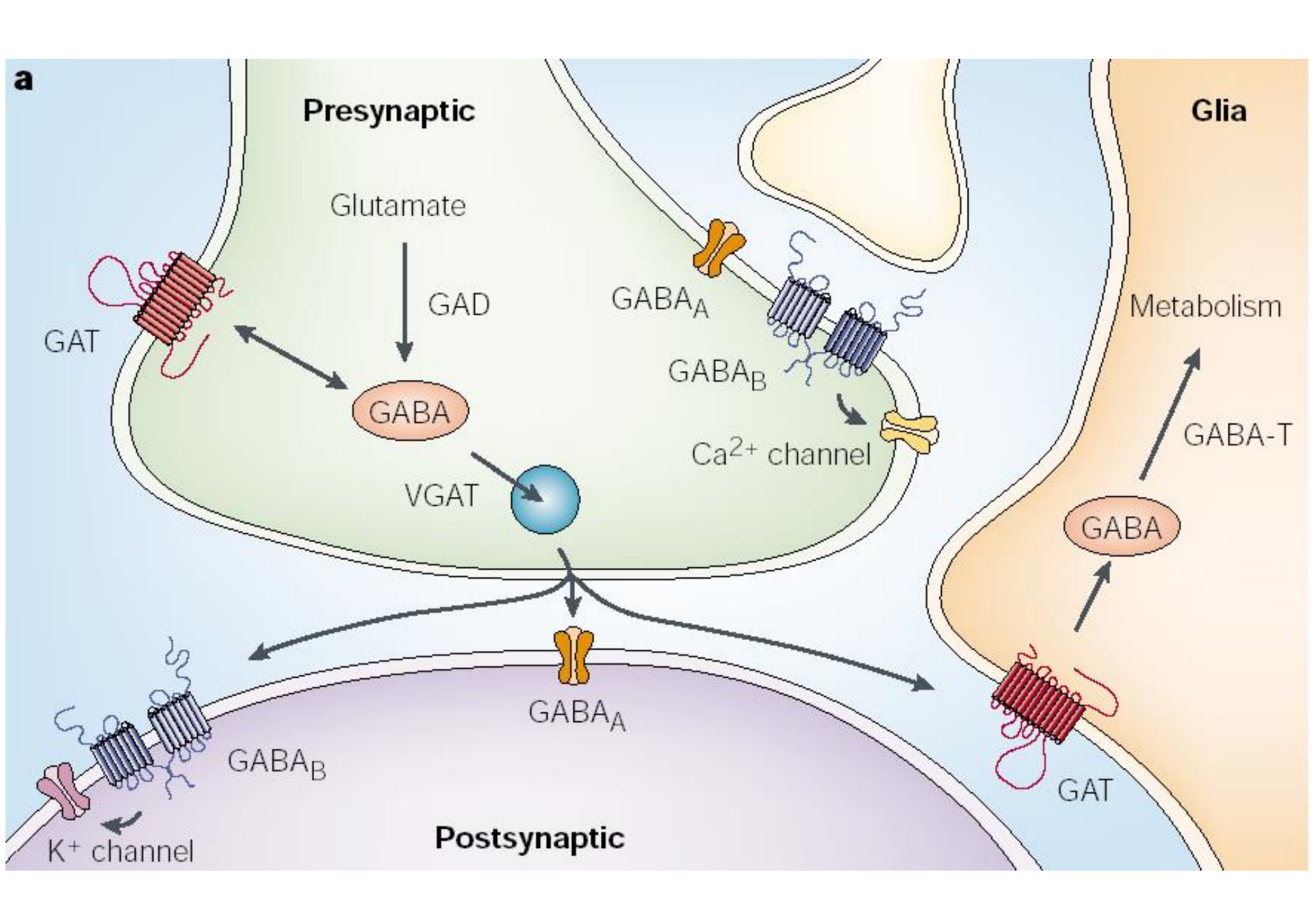
$$(GABA)$$
 O $H_3\vec{N} - CH_2 - CH_2 - CH_2 - C-O$

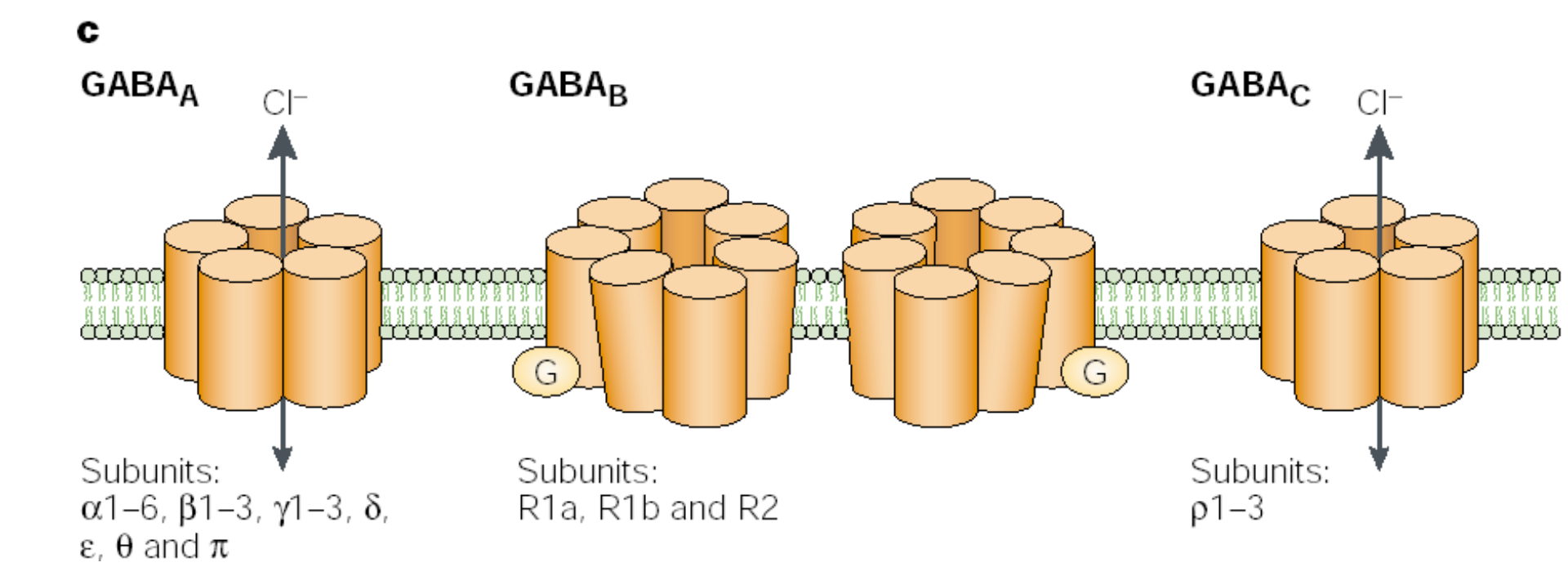


Copyright © 2002, Elsevier Science (USA). All rights reserved.









Recettori per il GABA (acido γ-amminobutirrico)

GABA_A-Rs

- Recettori GABA_A (ionotropo)
 - Recettori ionotropi ligando-dipendenti
 - Funzionano essi stessi da canali ionici permettendo il passaggio di Cl- se aperti dal neurotrasmettitore

- Sono attivati da: GABA

Muscimolo

Isoguvacina

- Sono inibiti da: Bicucullina

Gabazina

GABA_B-Rs

- Recettori GABA_B (metabotropo)
 - Sono associati a canali Ca²⁺ e K⁺ attraverso l'attivazione di proteine G

- Sono attivati da: GABA

Baclofene

- Sono inibiti da: faclofene

saclofene

GABA_C-Rs

- Recettori GABA_C
 - Sono considerati un sottotipo di recettori GABA_A. Derivano da varie isoforme della subunità ρ e sono associati a canali per il Cl⁻. È tessuto specifico per la retina.

- Sono attivati da: GABA

CACA ac. Amminocrotonico- 4- cis

TACA ac. Amminocrotonico-4- trans

- Sono inibiti da: TPMPA ac. metilfofidico

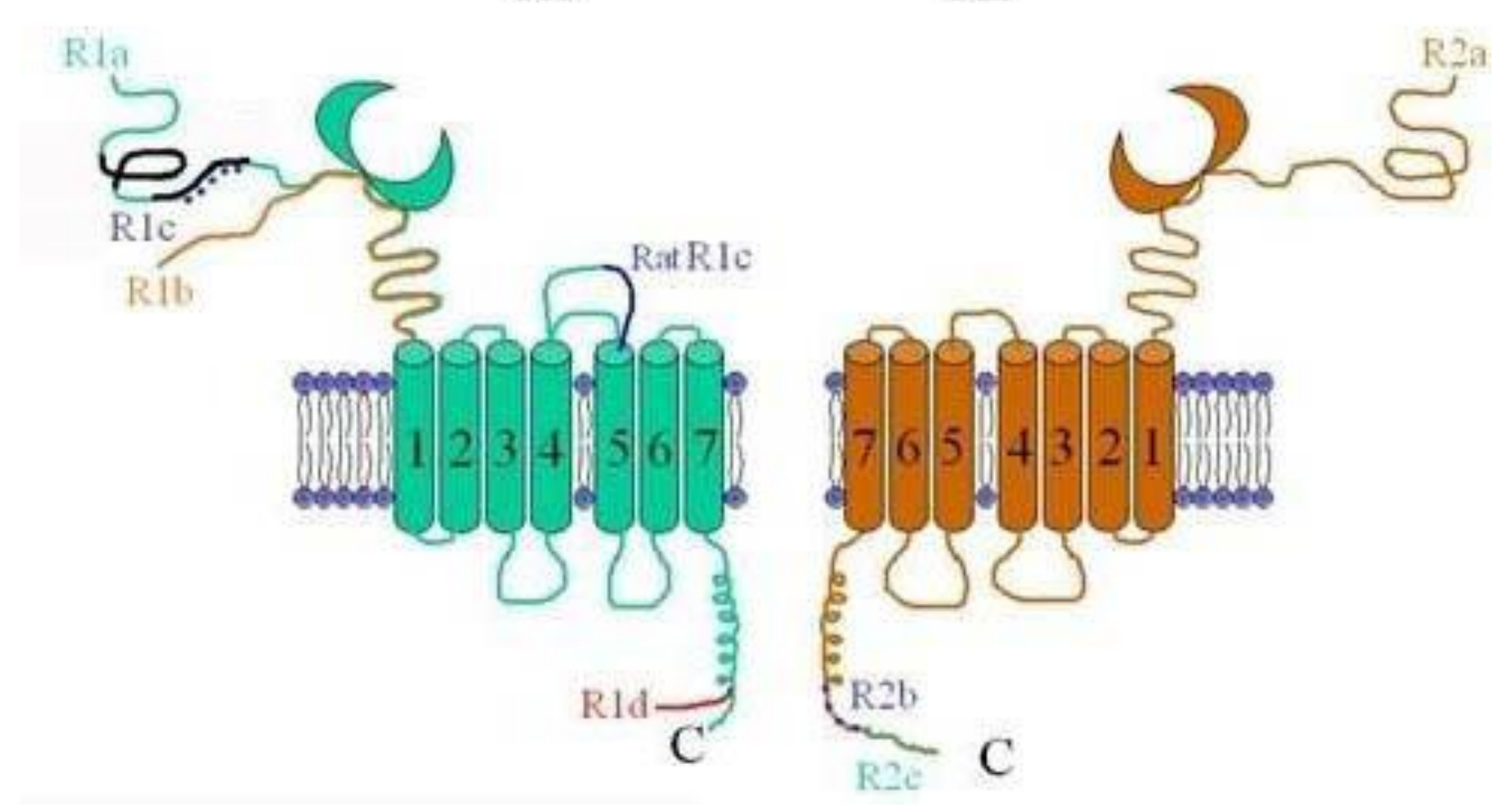
- Sono resistenti a: Bicucullina

Barbiturici

Benzodiazepine

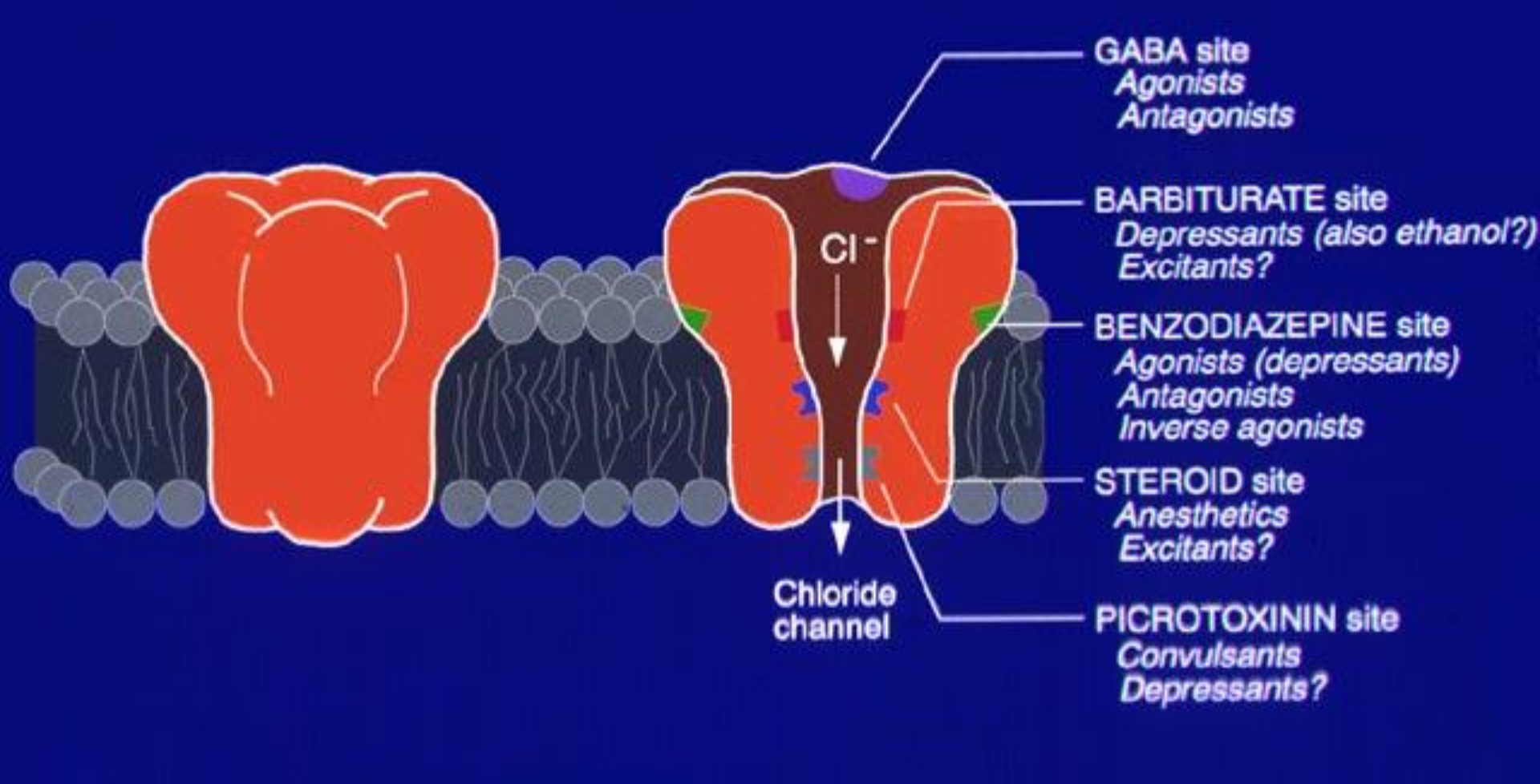
Baclofene

R1 R2



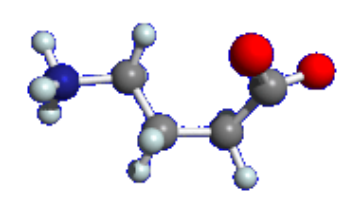
GABA_B-Rs

Caratteristiche	GABA _A	GABA _B	$GABA_{C}$
Meccanismo	Ionotropo	Metabotropo	Ionotropo
Subunità	αβγδεπθ		ρ
Tempo di apertura	2-20 ms		150 ms
Farmacologia			
GABA	10 μM (EC ₅₀₎	10 μM (EC ₅₀₎	1 μM (EC ₅₀₎
Muscimolo	Agonista	Inattivo	Agonista parziale
Baclofen	Inattivo	Agonista	Inattivo
Bicucullina	Antagonista competitivo	Inattivo	Inattivo
Picrotoxin	Antagonista non competitivo	Inattivo	Antagonista non competitivo



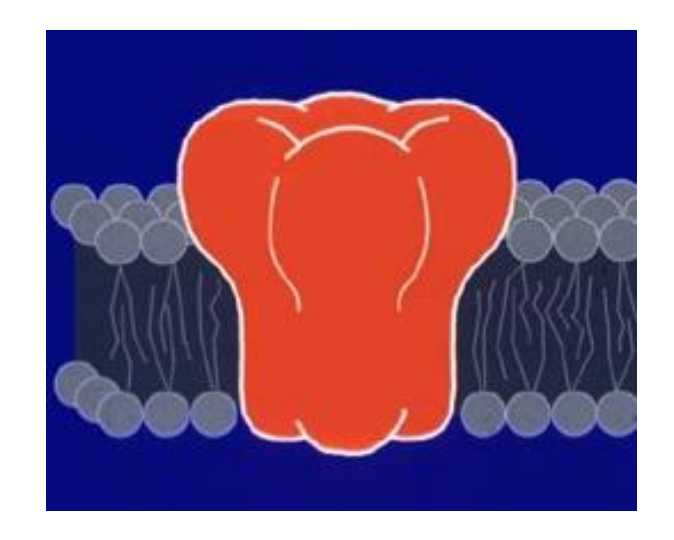


- 2) Ionotropo, selettivo per gli ioni Cl⁻
- 3) Pentamero (2 α , 2 β , γ)
- 4) Siti di legame per farmaci quali barbiturici e benzodiazepine



two classes of GABA_A receptors

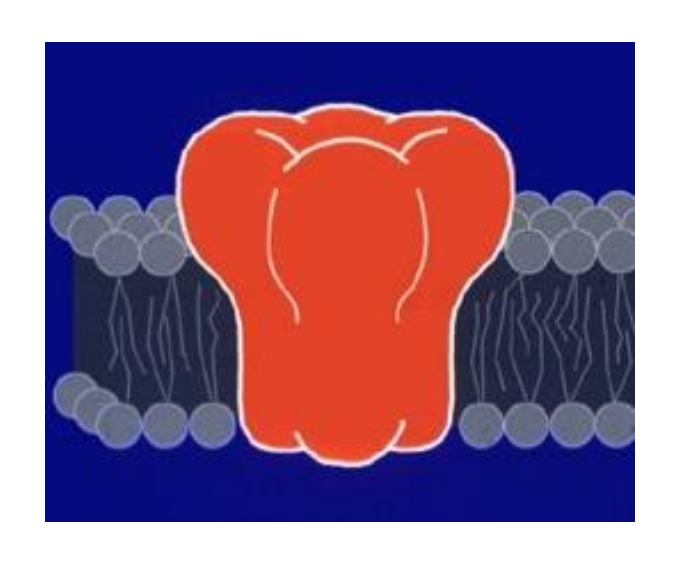
γ2 receptors



Low affinity Zn²⁺-insensitive

Phasic

 $\alpha 5/\delta/\alpha x/\beta x$ receptors



High affinity Zn²⁺-sensitive

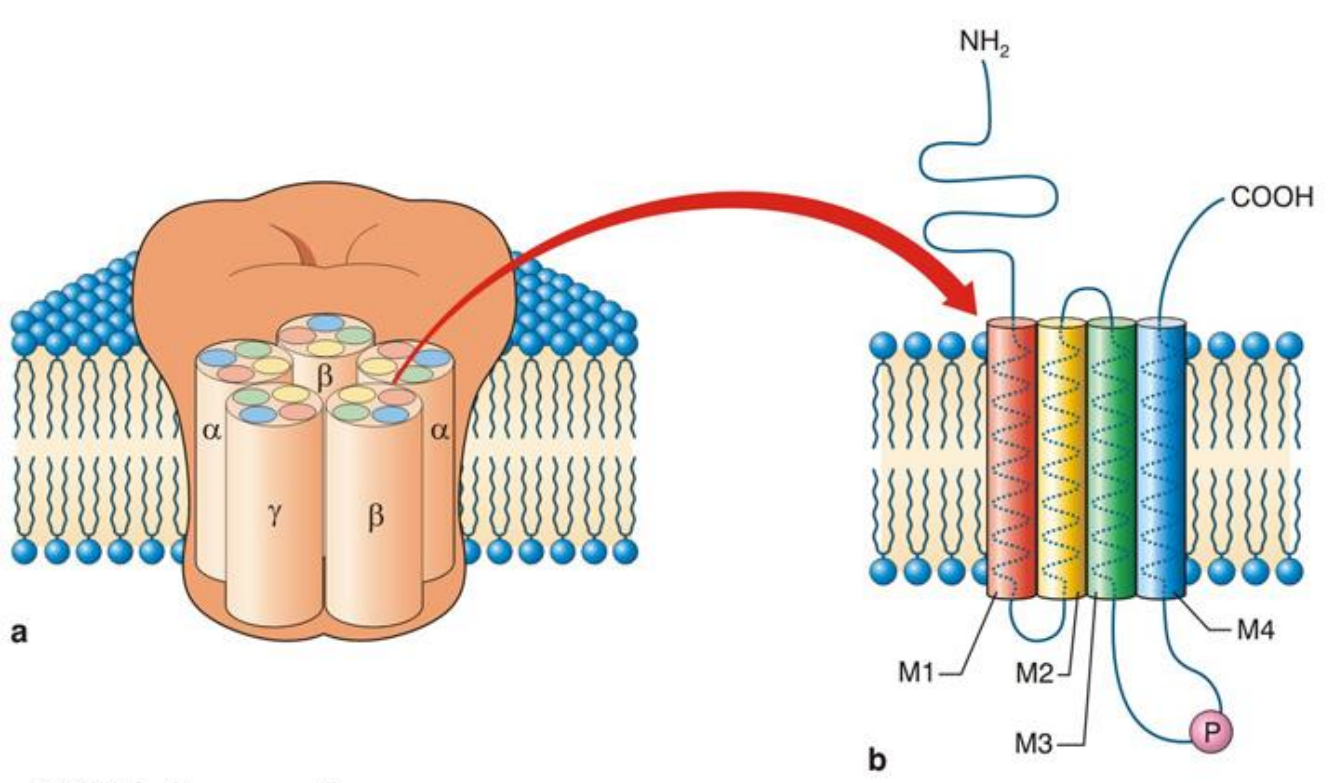
Tonic

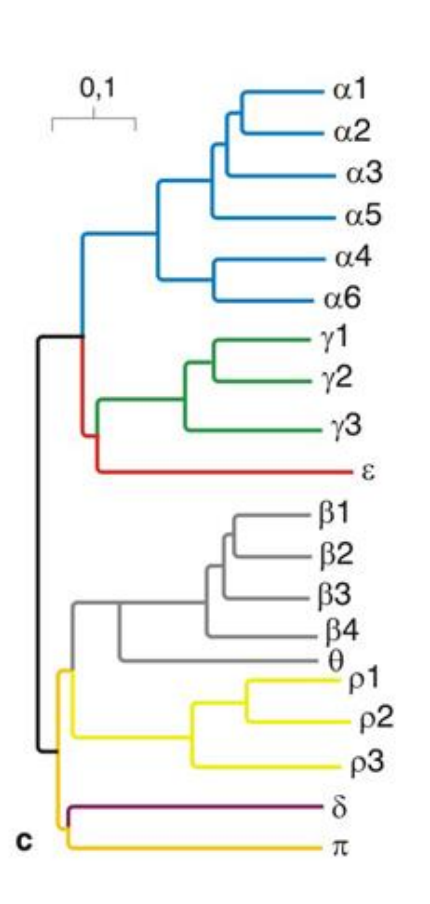
Table 16-1. Distributions and Novel Pharmacological and Physiological Properties of the Major ${\rm GABA}_{\rm A}$ Receptor Subtypes in the Rat Brain

Isoform	Relative Location abundance		Pharmacology/property	
$\alpha 1\beta 2\gamma 2$	40%	Most brain areas; hippocampal,	Common coassembly	
		cortical interneurons;	BZ-type I	
		cerebellar Purkinje cells	Zn-insensitive	
$\alpha 2\beta 3\gamma 2$	15%	Spinal cord motoneurons,	BZ-type II	
		hippocampal pyramidal cells	Moderately Zn-sensitive	
$\alpha 3\beta \gamma 2/3$	10%	Cholinergic, monaminergic neurons	BZ-type II, abecarnil-sensitive	
$\alpha 2\beta \gamma 1$	10%	Bergmann glia, thalamus, hypothalamus	BZ inverse agonist-enhanced	
α 5 β 3 γ 2/3	3%	Hippocampal pyramidal cells	BZ-type II, zolpidem-insensitive, moderate Zn-sensitivity	
$\alpha 6\beta \gamma 2$	2%	Cerebellar granule cells	BZ agonist-insensitive, moderate Zn-sensitivity	
α 6 βδ	3%	Cerebellar granule cells	Insensitive to all BZ, GABA high affinity high Zn-sensitivity steroid-insensitive	
$\alpha 4 \beta \gamma$	2%	Cortical, hippocampal pyramidal cells; striatum	BZ agonist-insensitive, low steroid sensitivity	
α 4β2 δ	4%	Thalamus, dentate granule cells	Insensitive to all BZ, GABA high affinity high Zn sensitivity, steroid-insensitive	
All other	11%	Throughout CNS		

BZ, benzodiazepine.Modified from McKernan and Whiting [20] with permission.

GABA_A-Rs

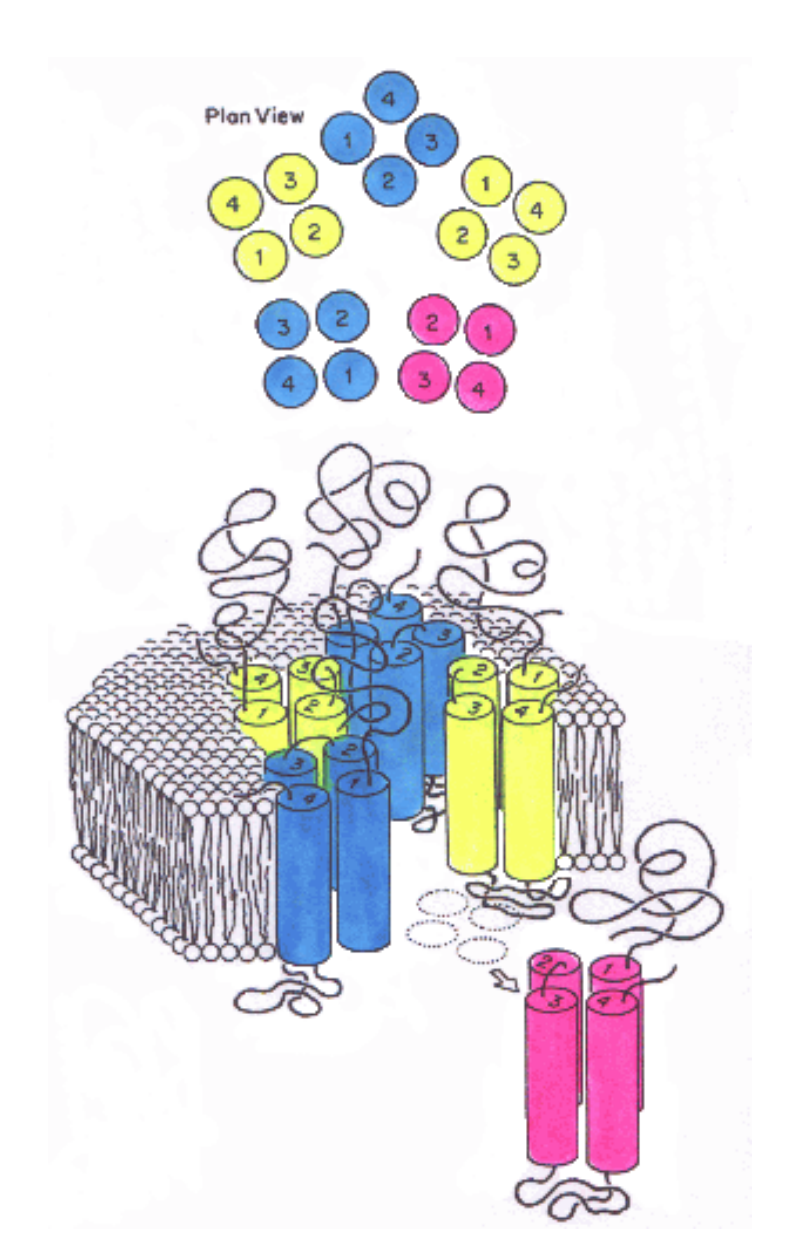


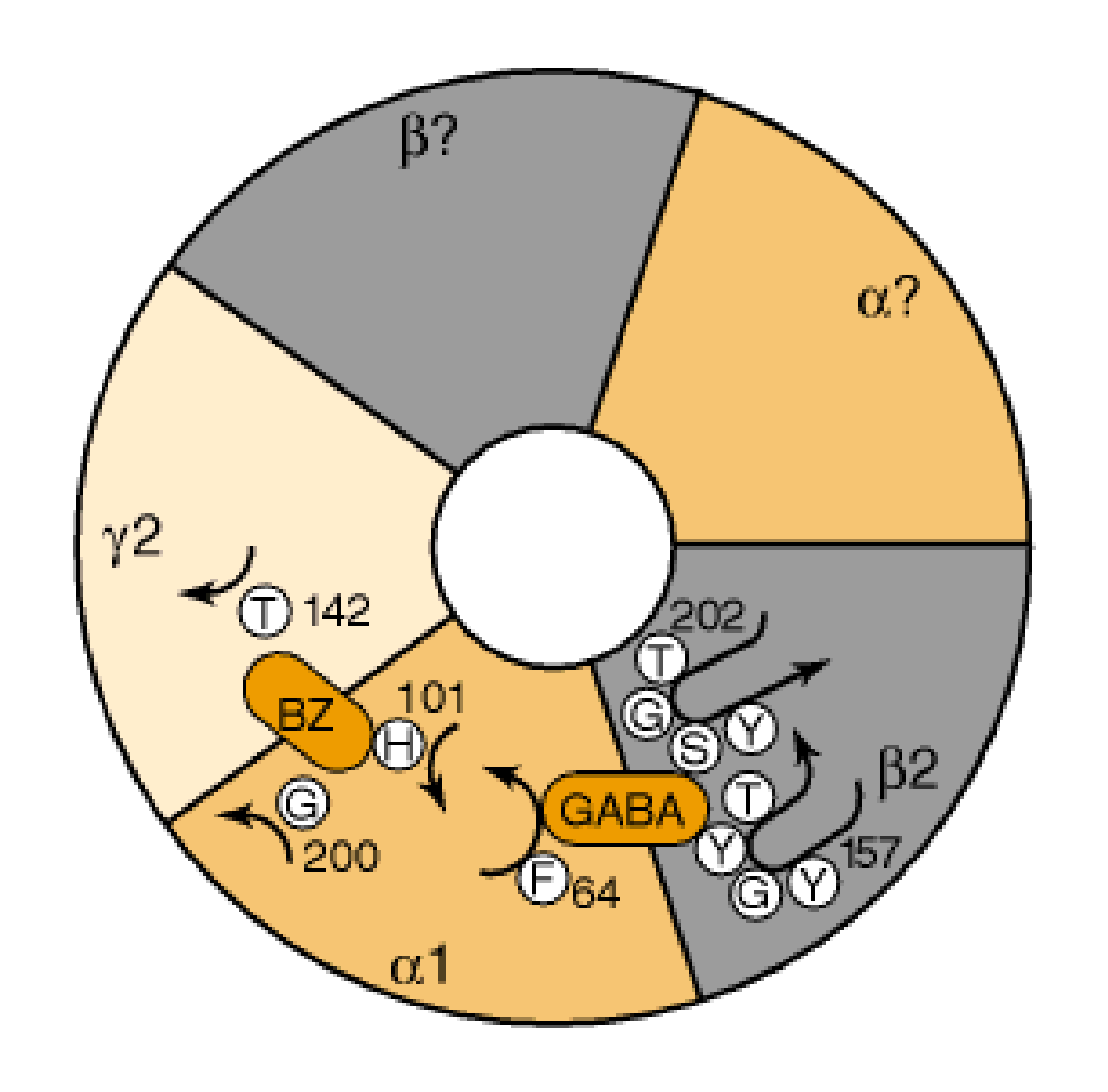


© 2005 edi.ermes milano

GABA_A-Rs

- Pentamerica
- 4 domini transmembranari
- Loop intracellulare fra i domini 3 e 4
- Sono stati identificati 16 geni responsabili per le subunità del recettore
- Le subunità sono state divise in 7 classi α 1-6, β 1-3, γ 1-3, δ , ϵ , π e ρ 1-3
- la maggior parte dei sottotipi di recettori GABA_A siano formati da subunità α , β e γ





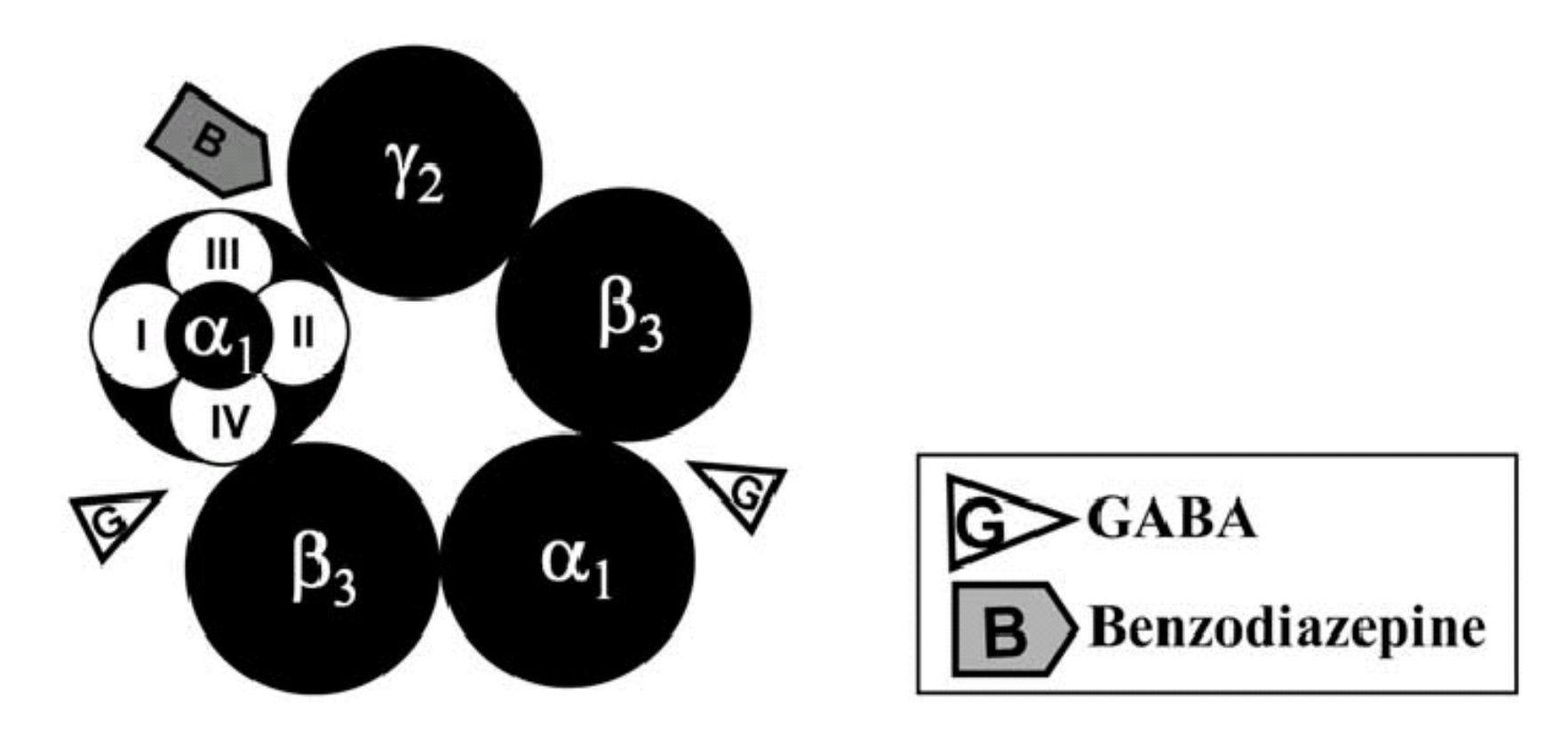
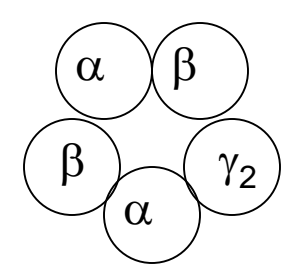


Fig. 1. Model of GABA_A receptors with location of two binding sites for GABA and one for benzodiazepine allosteric modulators.

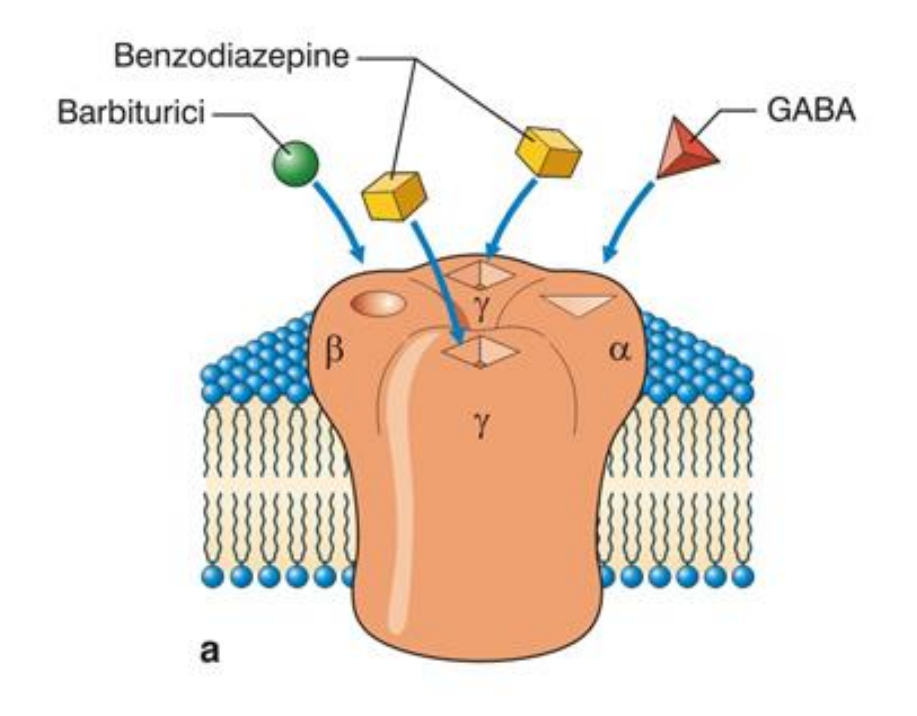
GABA_A-Rs

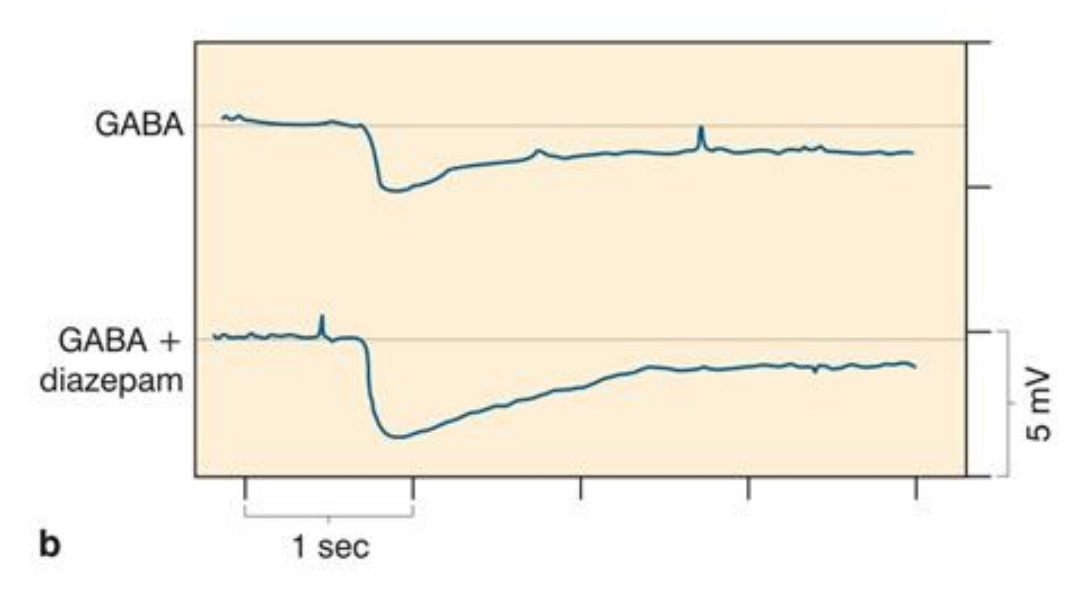


Probabilita' di apertura e e durata delle aperture condizionata da:

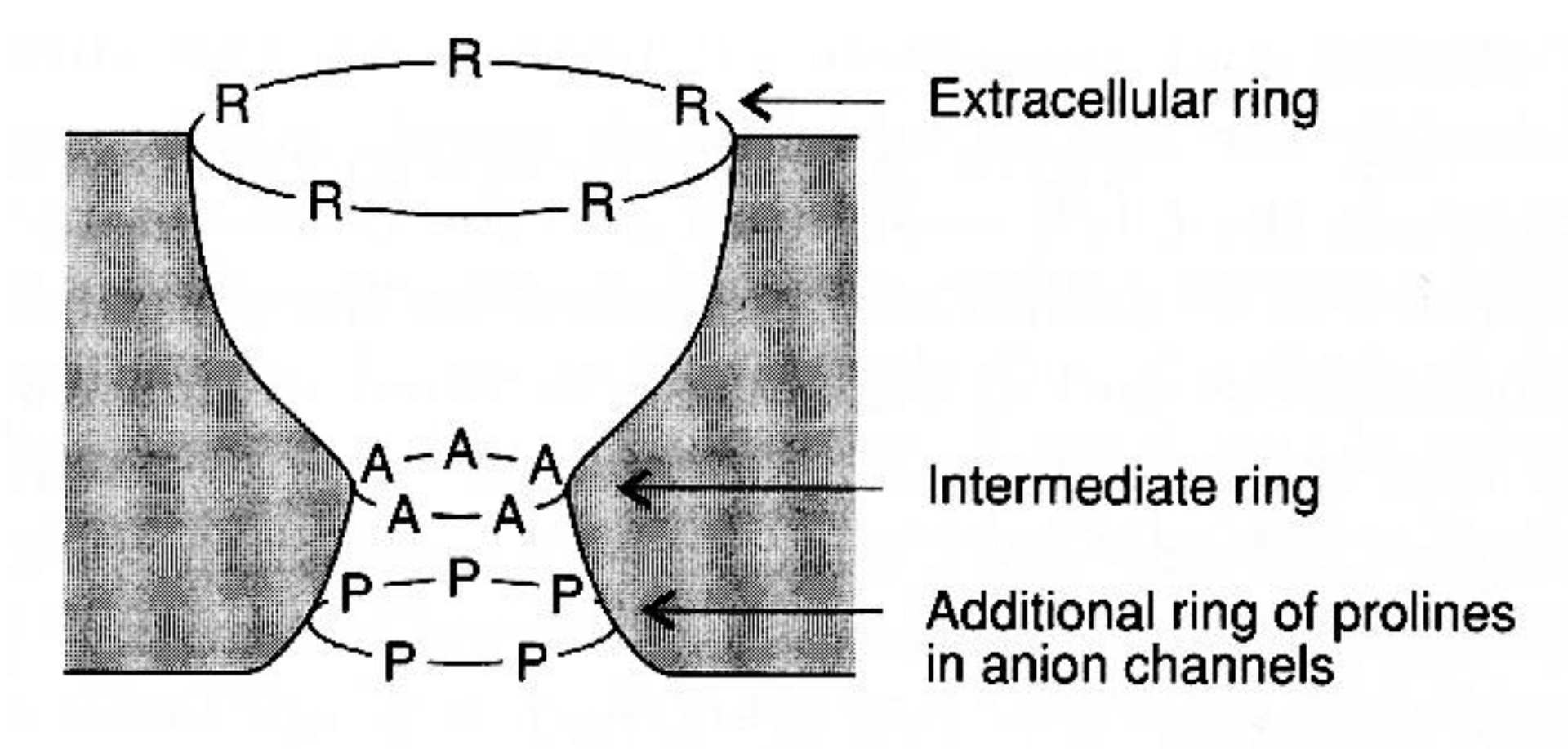
- •benzodiazepine $(+\gamma_2)$
- barbiturici
- •anestetici (-ε)
- ·alcol
- ormoni steroidei (δ)

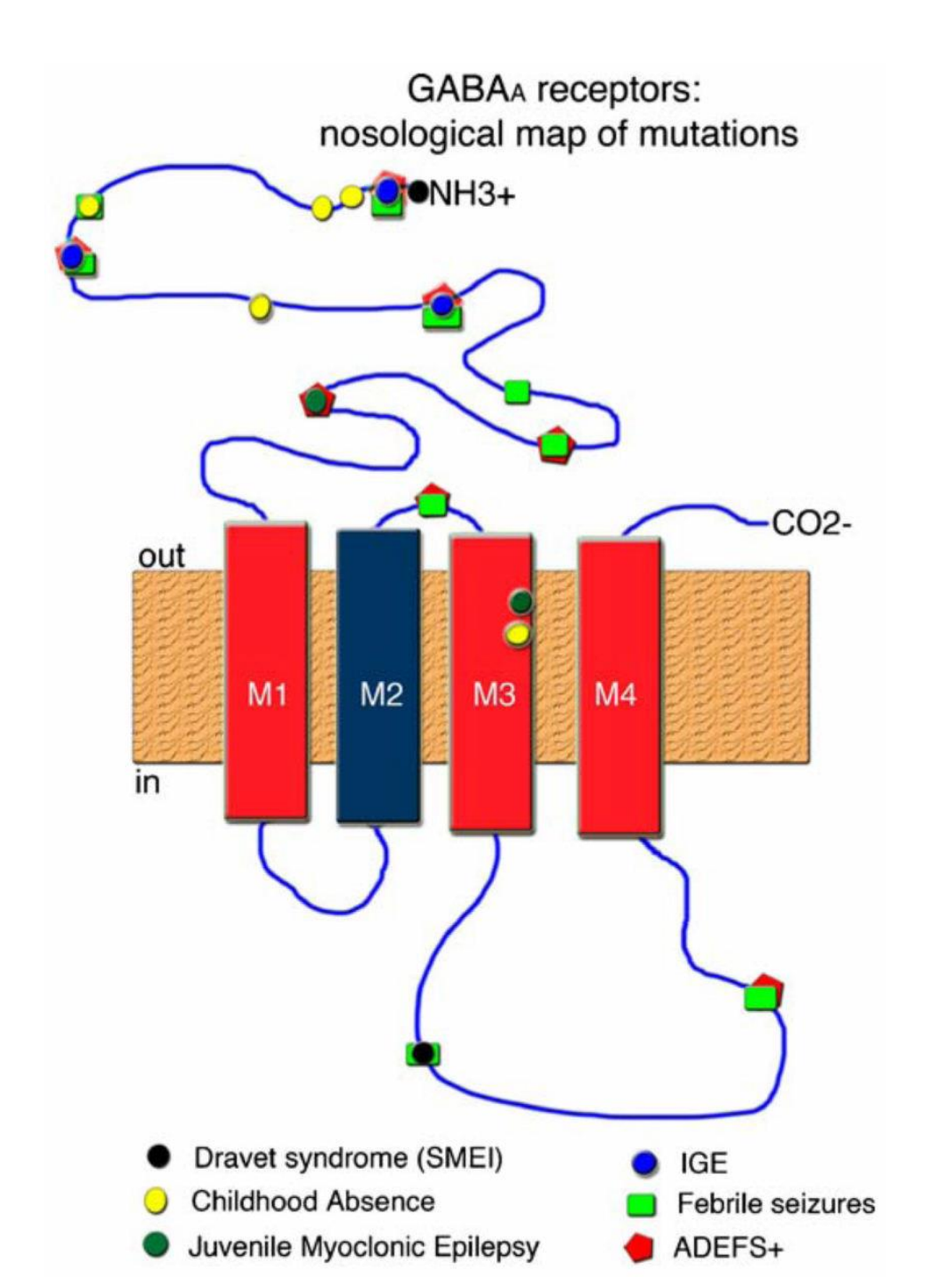
Gene	Protein	Chromosome location (human)				
GABRA1	α1	5q31.1-33.2				
GABRA2	α 2	4p12-p13				
GABRA3	α 3	Xq28				
GABRA4	$\alpha 4$	4p14-q12				
GABRA5	α 5	15q11-q13				
GABRA6	α6	5q31.1-33.2				
GABRB1	β1	4p12-p13				
GABRB2	β 2	5q31.1-33.2				
GABRB3	β3	15q11-q13				
GABRG1	γ1	4p14-q21.1				
GABRG2	γ2	5q31.1-33.2				
GABRG3	γ3	15q11-q13				
GABRD1	$\delta 1$	1p				
GABRE1	ε	Xq28				
	ρ 1	6q14-q21				
	ρ 2	6q14-q21				





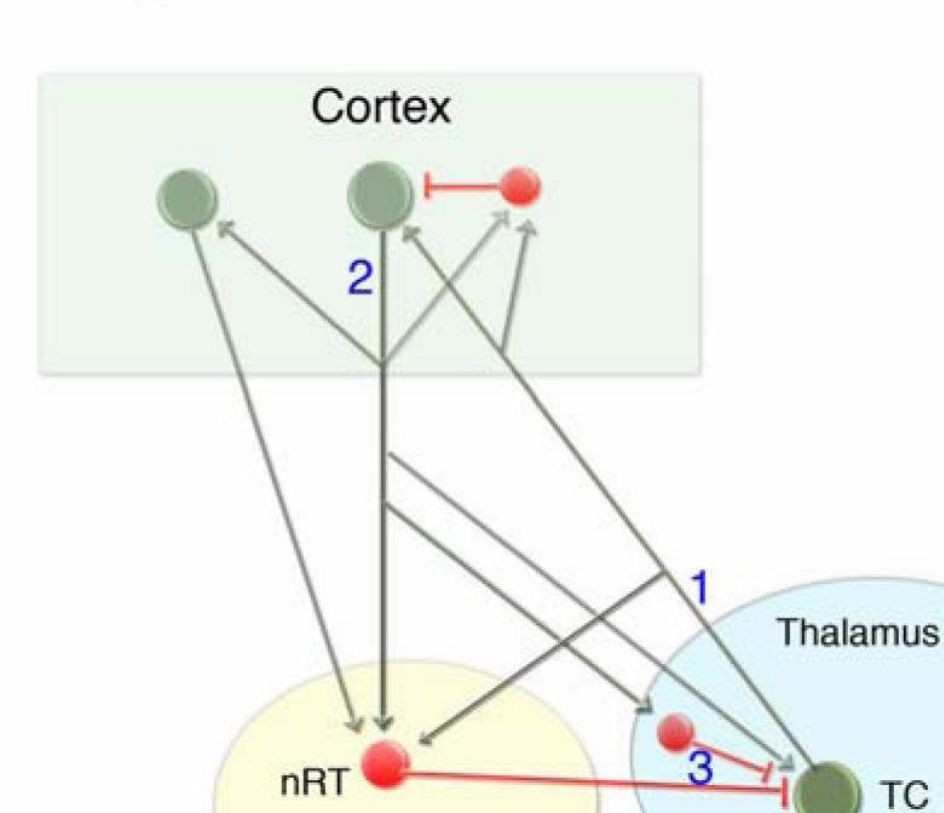
© 2005 edi.ermes milano

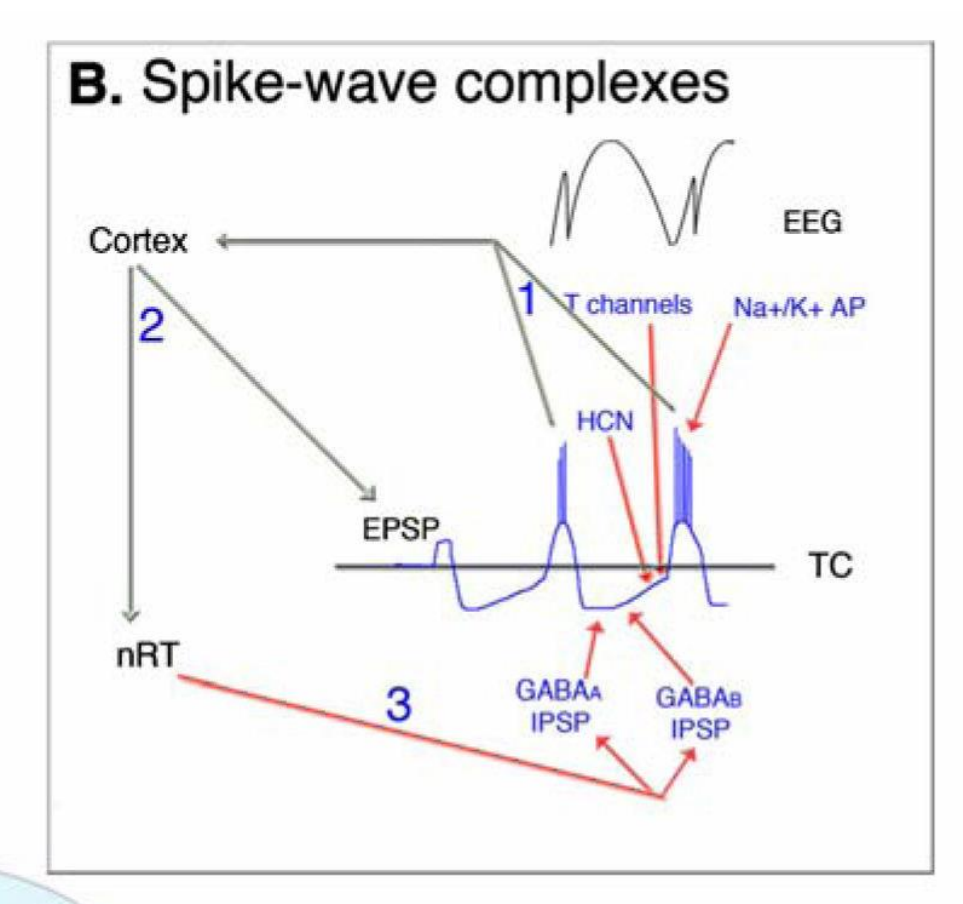




A. Corticothalamic network GABAergic interneuron

Excitatory neurons

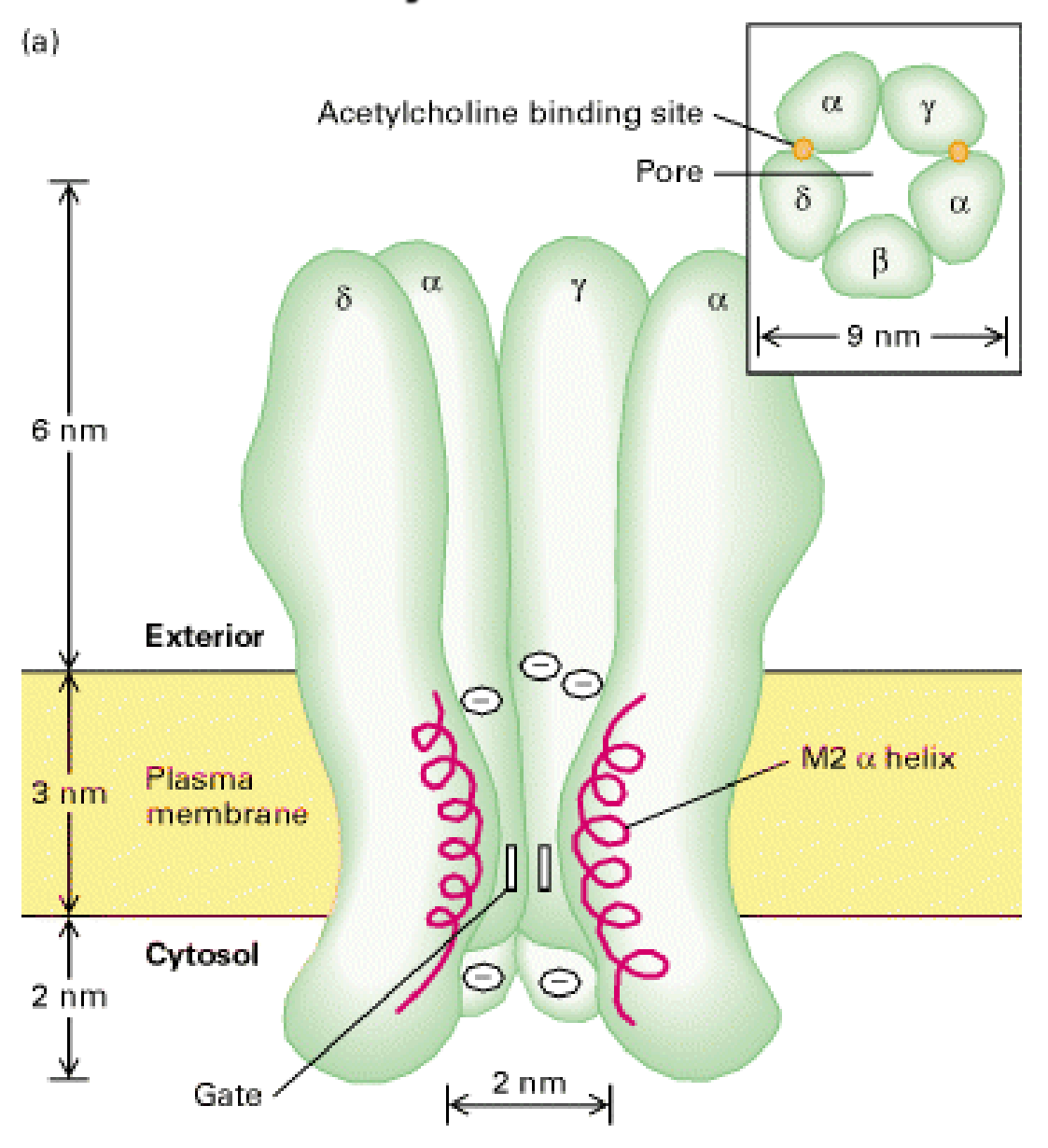


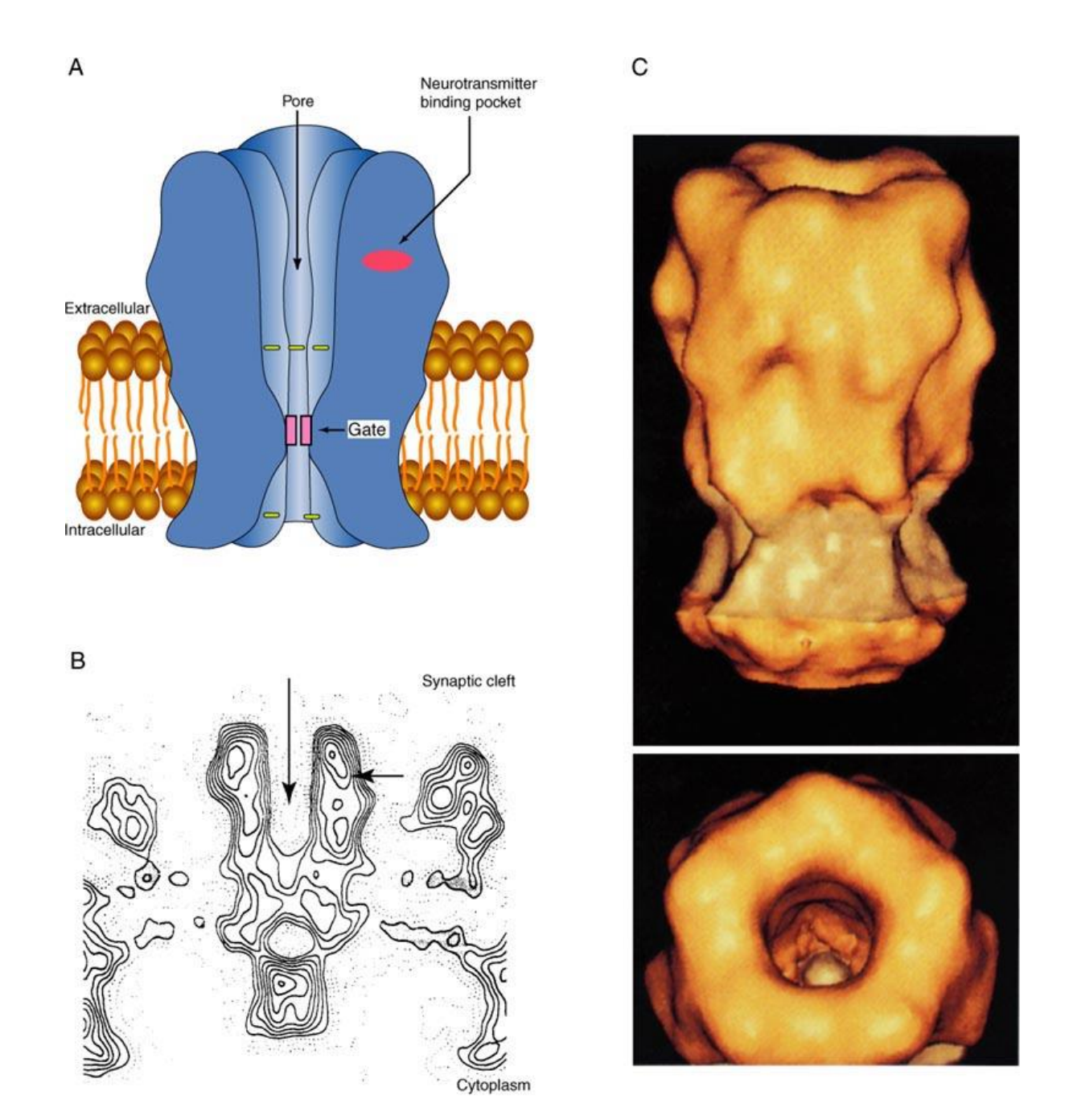


Sensory afferents

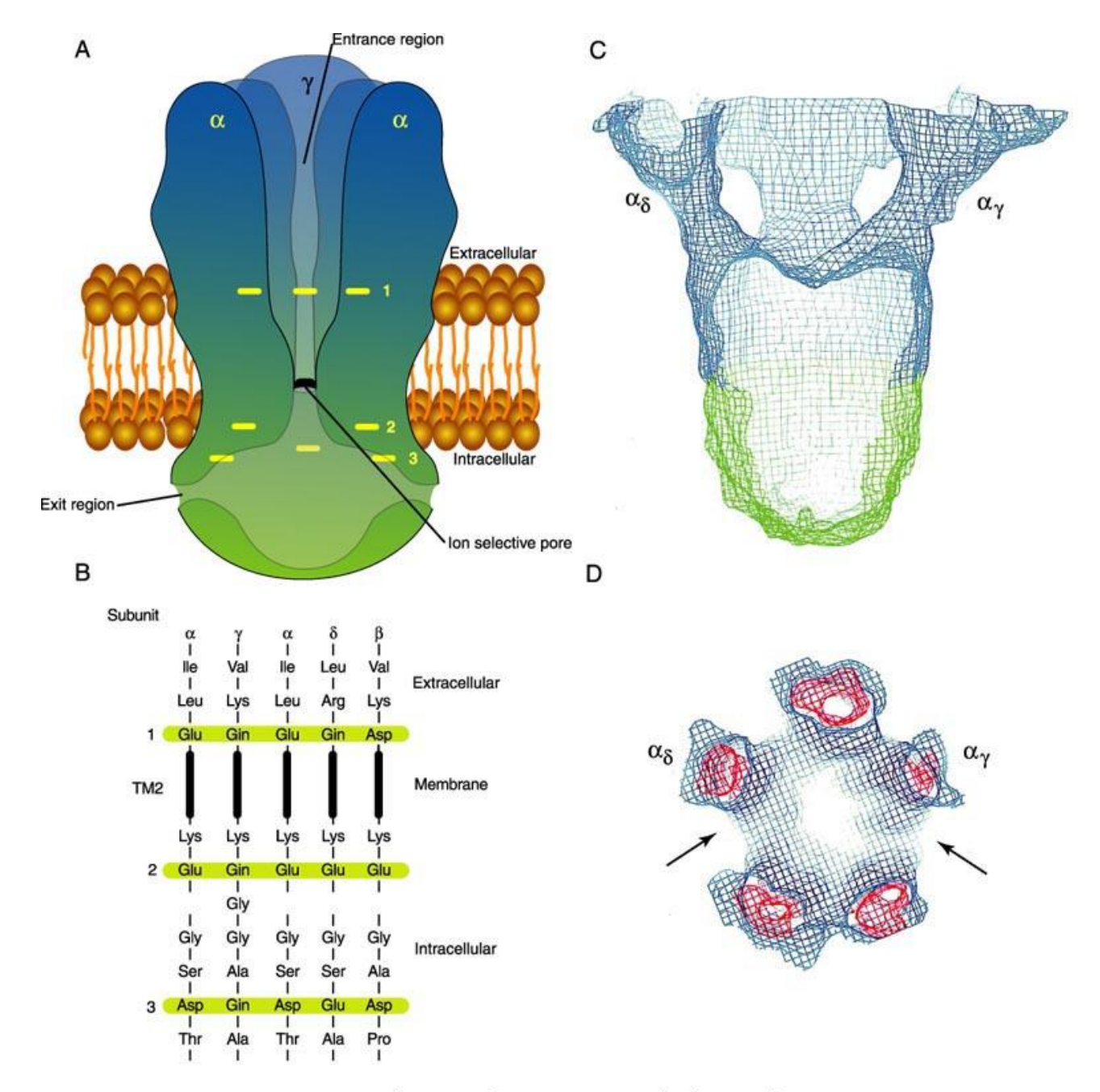
Scizure type / epilepsy	Mutation Type of mutation Site of mutation Functional effect of mut		Functional effect of muta	tion	Reference		
Autosomal dominant JME	GABRA1 (A322D)	Missense	M3 domain		Low amplitude GABA currents reduced surface expression; increased GABA EC50		[56,57]
	GABRD (R220H	Missense	Extracel lul a domain	r	Low amplitude GABA cui impaired trafficking?	rrents;	[46]
CAE	GABRA1 (975delC; S326fs328X)	Frameshift mutati Premature termination	on M3 domain		Nonsense-mediated mRN degradation in ER	[16,17]	
	GABRA6 (R46W)	Missense	Extracel lul a domain	ır	No change in GABAA cu	[18]	
	GABRB3 (-897T/C polymorphism)		Promoter re	gion	Decreased transcription (in N-Oct-3 binding)	mpaired	[19]
	GABRB3 (P11S; S15F; G32R)	Missense	Extracel lul a domain	r	Hy pergly cosylation?		[20]
	GABRB3	Association analysis					[15]
CAE + febrile seizures	GABRG2 (R43Q)	Missense	Extracel lula domain	ar	Decreased surface expression, ER retention, Altered benzodiazepine/ GABA binding?		[24,57,126] [26,27,32,
	(IV S6 + 2 T <g)< td=""><td>Ex on 6 skipping Premature termination</td><td>M1-M2 link</td><td>cer</td><td colspan="2">Exon skipping, premature termination ER retention and degradation vs nonfunctional protein</td><td>[37]</td></g)<>	Ex on 6 skipping Premature termination	M1-M2 link	cer	Exon skipping, premature termination ER retention and degradation vs nonfunctional protein		[37]
ADEIS+	GABRG2 (K289M)	Missense	M2-M3 link (extracel)		Decreased GABAA currer amplitude; Intact DZ po		[38]
	GABRG2 (W390X)	Premature termination	M3-M41ini (intracell		?		[127]
	GABRD (E177A) (R220C)	Missense	Extracel lul ar domain		Low amplitude GABA currents impaired trafficking?;		[46]
	GABRA4 (T320A)	Missense			? Also seen in controls		[18]
IGE, ADEFS+ febrile seizures	GABRP (V 10M)	Missense	Extracel lul a domain	ır	?		[18]
	GABRE (Y38S; E52K)	Missense	Extracel lul ar domain		? Also present in controls		[18]
SMEI ADEFS+	GABRG2 (Q351X)	Premature	M3-M4 link	er	ERretention		[42,121]
Seizure type / epilepsy	Mutation	Type of mutation	Site of mutation	Functional effect of mutation Reference		Reference	_
SMEI	GABRG2 (Q40X)	Premature termination	Extracel lular domain	ER retention [49]		[49]	Galanopoulou
Febrile seizures	GABRG2(R139G)	Missense	Extracel lul ar domain		sed fast phase desensitization, uced sensitivity to diazepam	[44]	рошош
	GABRE (G66S)	Missense	Extracel lul ar domain	?		[18]	
Angelman syndrome	15q11-13 deletion	Deletion, maternally inherited	15q11-13	Decreased expression of involved [60] genes (may include GABRB3, GABRA5, GABRG3)		[60]	

Acetylcholine-Rs

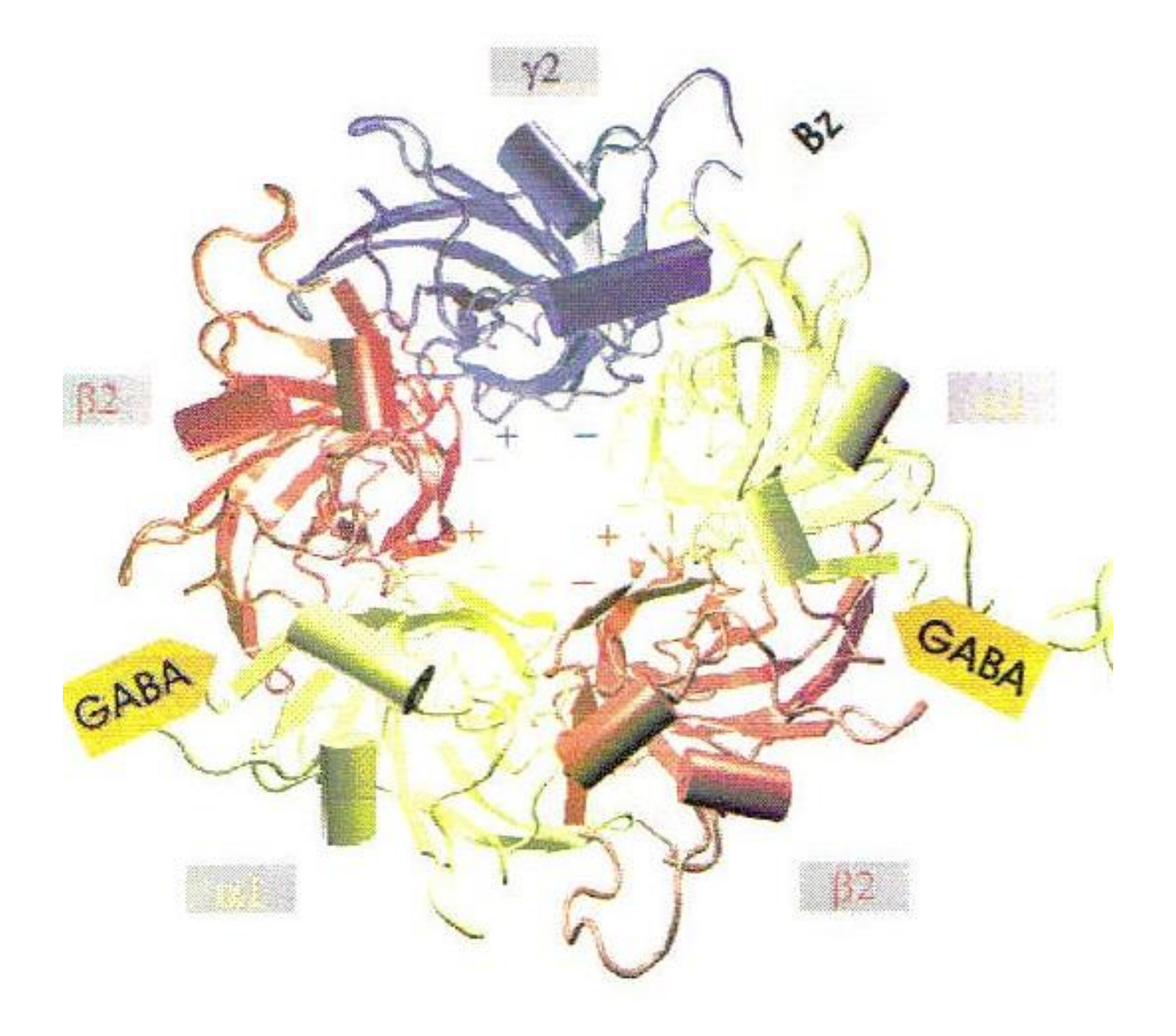


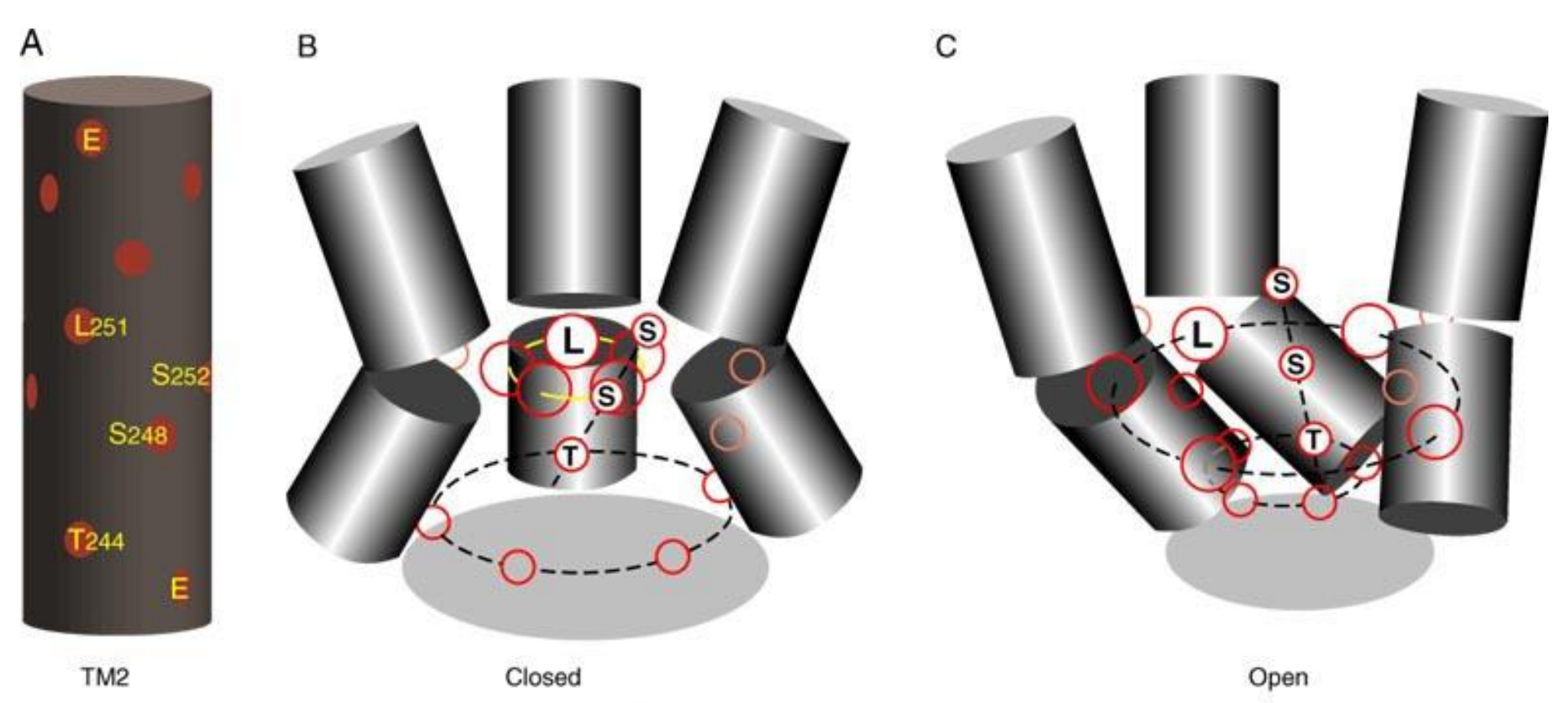


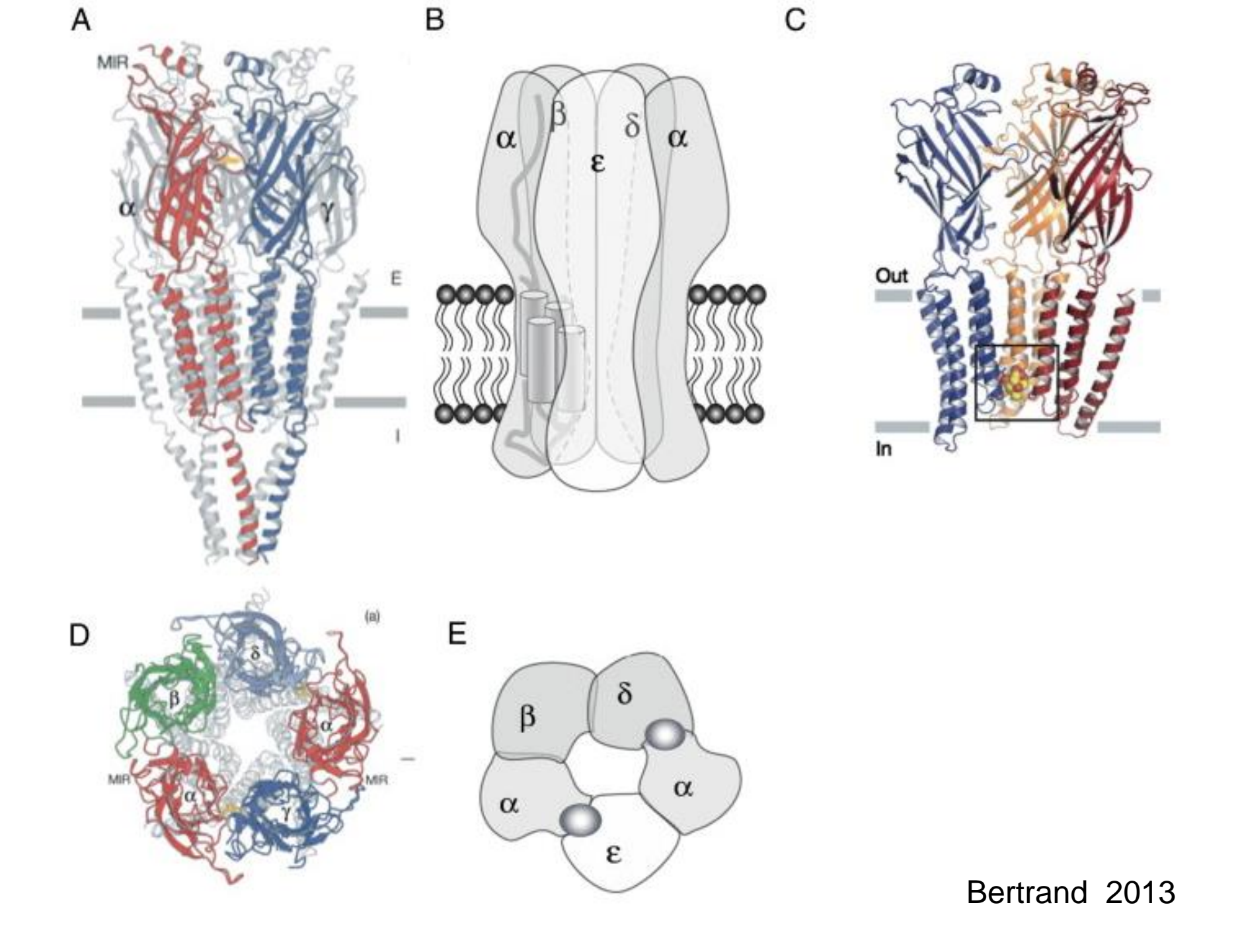
Unwin 1993



Copyright © 2002, Elsevier Science (USA). All rights reserved.







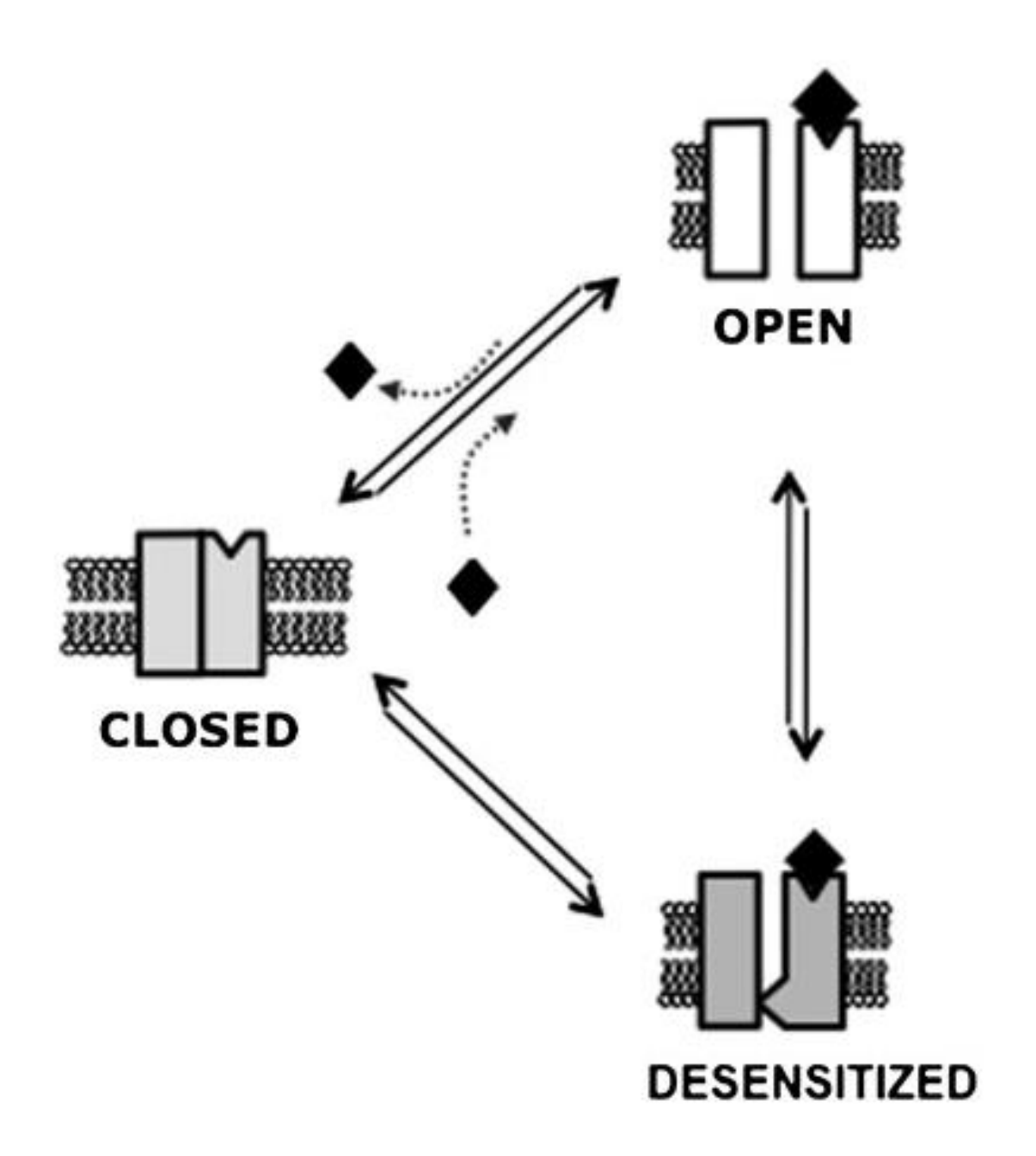


Table 1
Distribution of nAChR subtypes in the central nervous system (adapted from Gotti & Clementi, 2004).

	α3	α4	α5	α6	α7	β2	β3	β4
Cerebral cortex								
Frontal		•	•		•	•		
Parietal		•				•		
Occipital								
Temporal	•	•	•	•	•	•	•	•
Insular								
Enthorinal cortex	•	•			•	•		•
Subiculum	•	•			•	•		•
Hippocampus	•	•			•	•		•
Thalamus								
Basal ganglia								
Caudate	•	•			•	•		
Putamen	•	•	•	•	•	•	•	
Globus pallidus								
Brainstem								
Midbrain		•				•		
Pons								
Medulla oblongata								
Cerebellum	•	•		•	•	•		•

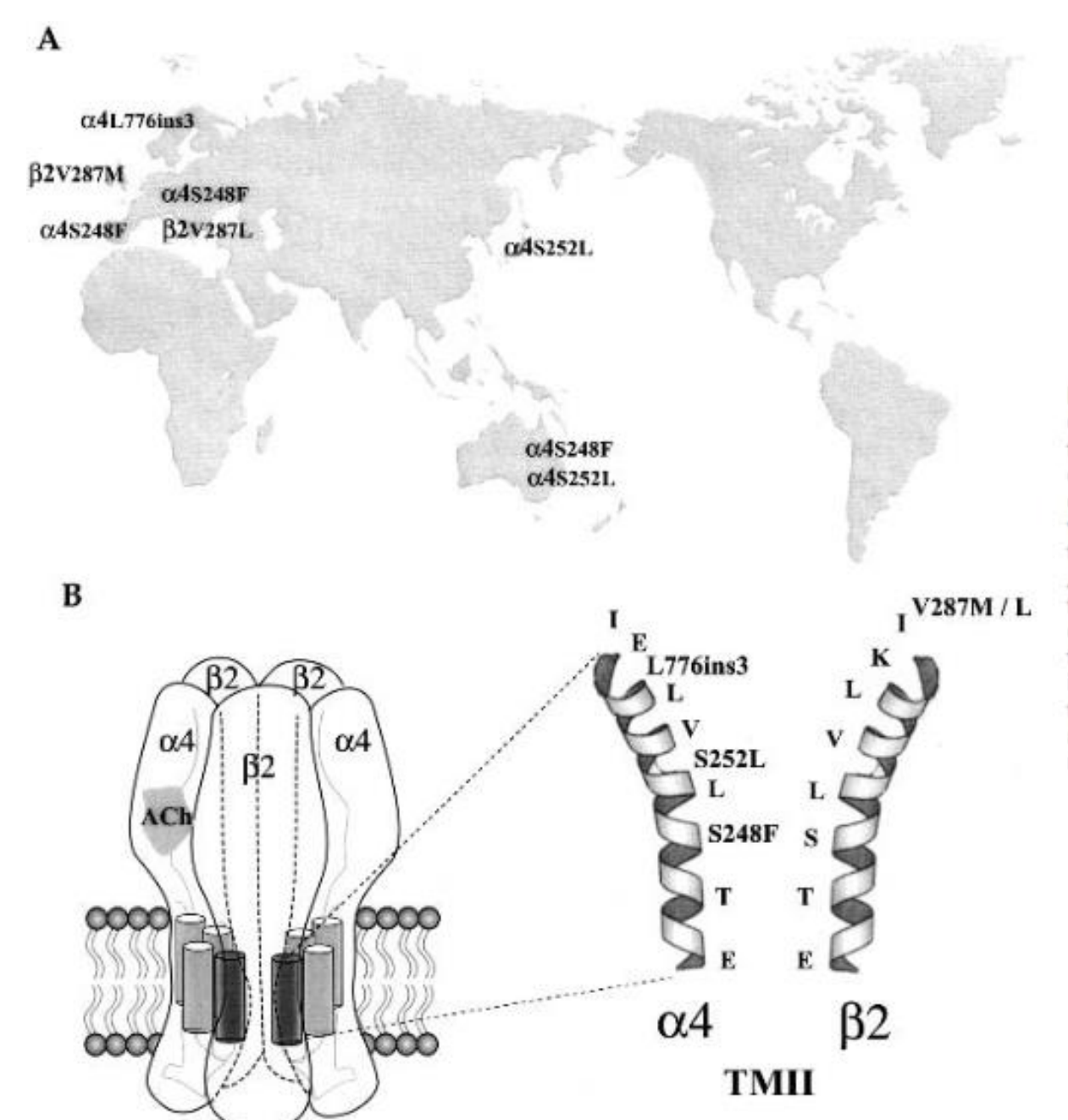
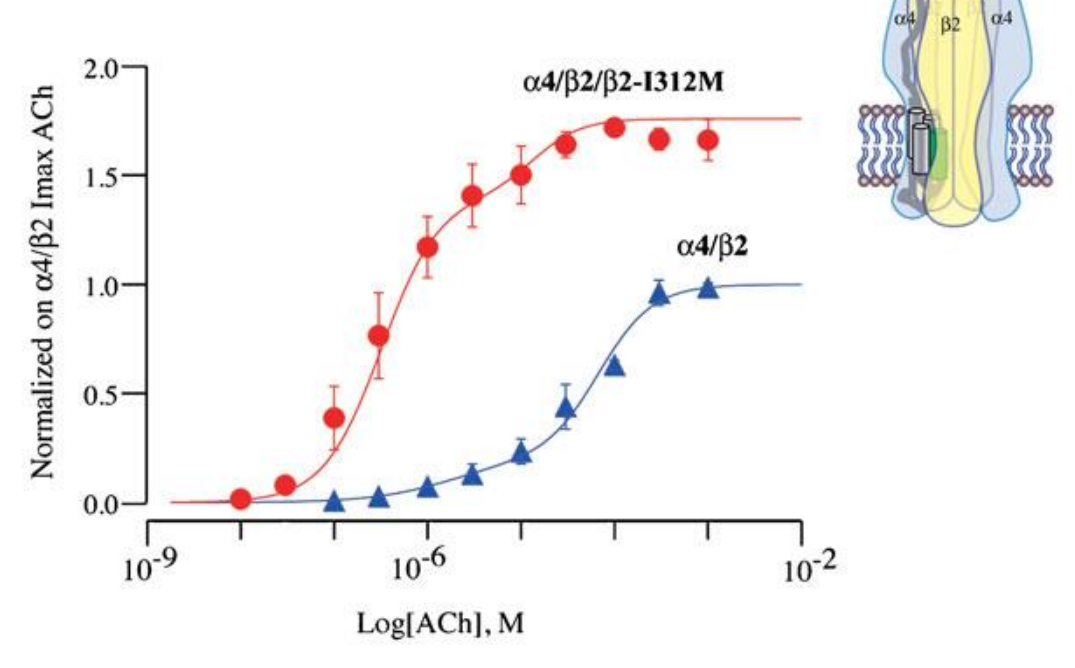
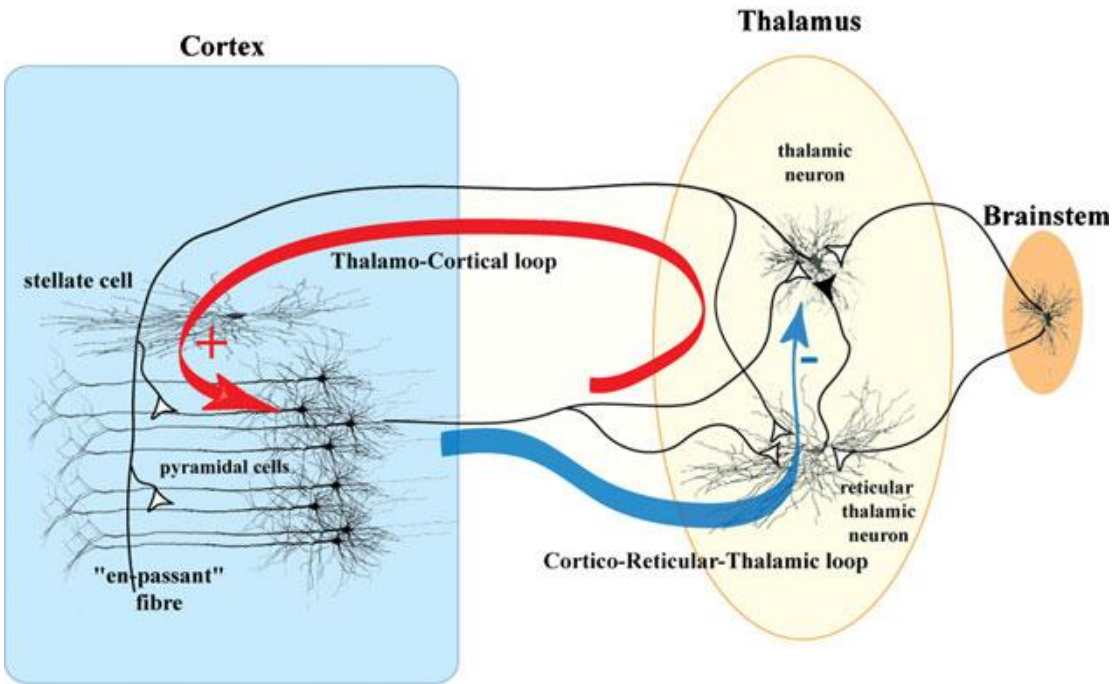


FIG. 1. Geographic and physical distribution of the different mutations associated with autosomal dominant nocturnal frontal lobe epilepsy (ADNFLE). A: Worldwide map with the localization of the families in which the different ADNFLE mutations were identified. B: Schematic representation of a neuronal α4β2 nicotinic acetylcholine receptor (nAChR) with, in inset, a blowup of the second transmembrane (TMII) domain and the location of the different mutations identified in A.





Steinlein and Bertrand, 2010